

KARADENİZ TEKNİK ÜNİVERSİTESİ FEN BİLİMLERİ ENSTİTÜSÜ

JEODEZİ VE FOTOGRAMETRİ MÜHENDİSLİĞİ ANABİLİM DALI

JEODEZİ VE FOTOGRAMETRİ MÜHENDİSLİĞİ PROGRAMI

SAYISAL YÜKSEKLİK MODELİ VE
MULTİKUADRİK ENTERPOLASYON YÖNTEMİ

Har. Mih. Çetin CÖMERT

Karadeniz Teknik Üniversitesi Fen Bilimleri Enstitüsü'nce
" Harita Yüksek Mühendisi "
Ünvanının Verilmesi İçin Kabul Edilen Tezdir

Tezin Enstitüye Verildiği Tarih : 8 Ocak 1988

Tezin Sözlü Savunma Tarihi : 27 Ocak 1988

Tez Danışmanı : Doç.Dr. Erdal KOÇAK

Erdal Koçak

Jüri Üyesi : Doç.Dr. Ahmet YAŞAYAN

Ahmet Yaşayan

Jüri Üyesi : Yrd.Doç.Dr. Ahmet KAYA

Ahmet Kaya

Enstitü Müdürü : Prof.Dr. Doğan TURHAN

Doğan Turhan

Ocak 1988

TRABZON

ÖNSÖZ

Her alanda olduğu gibi, haritacılık alanında da bilgisayar tek - nolojisinden yararlanılmasının, hem üretici hem de kullanıcı kesim için çok önemli faydalar sağlayacağı bilinmektedir. Bilgisayar destekli haritacılık çalışmaları için, arazinin topografik yapısını sayısal olarak temsil eden bir sayısal yükseklik modelinin oluşturulması son derece önemli bir safhadır. Sayısal yükseklik modelinin oluşturulmasında çeşitli etkenlere bağlı olarak, amaca en uygun interpolasyon yönteminin belirlenmesi gereklidir. Bu da ancak, çeşitli interpolasyon yöntemlerinin ayrıntılı olarak incelenip, özelliklerinin tespit edilmiş olmasıyla mümkün olacaktır.

Bu çalışmada, sayısal yükseklik modelinin yapısı, oluşturulmasındaki safhalar ele alınmış, kullanılabilen interpolasyon yöntemlerinden biri olarak multikuadrik interpolasyon yöntemi incelenmiş, seçilen bir arazi kesimi üzerinde deneyimelik çalışmalar yapılarak, yöntemin özellikleri ve sayısal yükseklik modeli çalışmalarında kullanılabilirliği araştırılmıştır.

Çalışmalarım süresince her türlü yardımlarını esirgemeyen, yol gösterici fikirleriyle beni teşvik eden, lisans ve yüksek lisans öğrenim boyunca çok kıymetli bilgilerinden yararlandığım sayın Doç.Dr. Erdal KOÇAK ve sayın Yrd.Doç.Dr. Atilla GÜLER'e içten teşekkürlerimi sunarım.

Trabzon, Ocak 1988

Çetin CÖMERT

İÇ İ N D E K İ L E R

ÖZET	V
SUMMARY	VII
1. GİRİŞ	1
2. SAYISAL YÜKSEKLİK MODELİ İÇİN ARAZİ SINIFLAMASI	4
2.1. Arazi Sınıflamasının Gerekliliği	4
2.2. Arazi Sınıflamasında Kullanılabilir Parametreler	4
2.3. F.Silar Tarafından Yapılmış Olan Arazi Sınıflaması	10
2.4. Arazi Sınıflaması İçin İstatistikî Bir Yöntem	11
3. SAYISAL YÜKSEKLİK MODELİ İÇİN İŞLEM SÜRECİ	12
3.1. Verilerin Elde Edilmesi	12
3.11. Yersel Ölçülerle Veri Toplama	14
3.12. Topografik Haritalardan Veri Toplama	14
3.13. Fotogrametrik Modelden Veri Toplama	15
3.14. Örnekleme Noktalarının Seçimi	17
3.141. Örnekleme Noktalarının Dağılımı	18
3.142. Örnekleme Yoğunluğu	21
3.2. Verilerin İşlenmesi	23
3.21. Sayısal Yükseklik Modelinde Enterpolasyon	23
3.3. Uygulama	26
4. MULTIKUADRİK ENTERPOLASYON YÖNTEMİ	28
4.1. Teorik Bilgiler	28
4.2. Multikuadrik Enterpolasyonda İşlem Adımları	30
5. SAYISAL UYGULAMALAR	33
5.1. Uygulama Bölgesinin Seçimi ve Genel İş Akışı	33
5.2. Sayısal Uygulama Sonuçlarının İrdelenmesi	35
5.3. Sayısal Uygulama Sonuçları	39
5.31. I. Bölge	40
5.32. Şev Bölgesi	46
5.33. II. Bölge	47
5.34. III. Bölge	55
5.4. Multikuadrik Enterpolasyonla Bulunan Yüksekliklere göre Eşyükseklik Eğrilerinin Çizimi	60

6. SONUÇ VE ÖNERİLER	61
KAYNAKLAR	63
EKLER	64
ÖZGEÇMİŞ	81

ÖZET

Haritacılık alanında, insangücüne olan gereksinimi azaltma, standart sağlama ve kaliteyi yükseltme, ekonomik ve hızlı bir harita üretimi gibi başlıca hedeflere ulaşmak için bilgisayar teknolojisinin kullanılması, günümüz şartlarında kaçınılmaz hale gelmiştir.

Bilgisayar destekli haritacılık çalışmaları için, arazi üzerindeki tüm bilgilerin ve topografik yapının sayısal olarak temsil edilmesi söz konusudur. Topografik yüzeyin sayısal olarak temsil edilebilmesi, bu yüzey üzerinde yatay ve düşey konumlarıyla (x, y, z koordinatları) belli yerlerde sayıda noktayı gerektirir.

Sayısal yükseklik modeli (SYM) oluşturmadaki amaç, herseyden önce topografik yüzeyin sayısal olarak belirlenmesidir. SYM'nin oluşturulabilmesi için önce, arazi üzerinde çeşitli yerlerde birtakım noktalar tesbit edilerek bunların x, y, z koordinatları belirlenir. Bu noktalar dayanak noktalarıdır. Bundan sonra, dayanak noktaları yardımıyla topografik yüzey matematiksel olarak ifade edilir ve bu yüzey üzerinde yatay konumuya bilinen istenen sayıda noktanın yükseklikleri interpolasyonla belirlenir. Böylece topografik yüzey binlerce noktanın yatay ve düşey konum bilgileriyle tanımlı hale gelmiş olur.

Uygun bilgisayar yazılımlarıyla SYM den esyükseklik egrilerinin otomatik çizimi, en ve boy kesitlerin grafik gösterimi, hacim hesapları, planlama amaçlarına yönelik ejim haritalarının hazırlanması vb. pek çok amaçla yararlanılabilir.

SYM'nin gücü temsil ettiği arazinin tipi, dayanak noktalarının dağılımı ve sıklığı ve uygulanacak interpolasyon yöntemiyle sıkı sıkıya ilişkilidir. Bu bakımdan SYM'den beklenen doğruluğa bağlı olarak, en uygun dayanak noktası dağılımı ve sıklığı ile interpolasyon yönteminin belirlenmesi gereklidir. Dayanak noktalarının dağılım ve sıklığının belirlenmesinde veri kaynağı ve arazi tipi başlıca sınırlayıcı faktörlerdir.

Bu tez çalışmasında denenen multikuadrik interpolasyon yönteminde arzinin tümünü temsil eden tek bir fonksiyonla interpolasyon uygulanır. Bunun için topografik yüzey, n sayıda dayanak noktası yardımıyla, genel olarak,

$$\sum_{j=1}^n c_j \cdot q(x_j, y_j, x, y) = z$$

şeklinde ifade edilen bir multikuadrik yüzey ile temsil edilir.

Deneysel çalışmalar, 1/1000 ölçekli TRABZON 20K-IV paftasının 300x200 m lik bir bölümü üzerinde gerçekleştirılmıştır. Interpolasyon için

$$\sum_{j=1}^n c_j \cdot [(x_j - x)^2 + (y_j - y)^2]^{1/2} = z$$

şeklindeki dairesel dik konilerin toplamından oluşan multikuadrik yüzey kullanılmıştır.

Deneysel çalışmalar için harita üzerinde önce, rasgele ve morfolojik çizgi ve noktalarda dayanak noktaları tesbit edilerek bu noktaların x, y, z koordinatları belirlenmiştir. Daha sonra, grid büyülüklüğü lcm olan denetleme grid ağı (test ağı) oluşturularak grid köşe noktalarının yük-

seklikleri belirlenmiş ve bu noktalar test noktası olarak kullanılmıştır.

Karar aşamasında, test noktalarının multikuadrik enterpolasyonla bulunan yükseklikleriyle bilinen yükseklikleri arasındaki farklar test edilmiştir.

Deneysel çalışmalar sonucunda, dayanak noktası sıklığı arttıkça duyarlığın arttığını yani multikuadrik yüzeyin topoğrafik yüzeye daha iyi uyum sağladığını, bununla birlikte multikuadrik yüzeyin ortalama olarak, çoğunlukla, topoğrafik yüzeyden daha alçak bir yüzeyi temsil ettiğini ve trend derecesinin duyarlığa etkisi olmadığı görülmüştür. Sözkonusu çalışmalarında en iyi sonuç, 13.10 m lik ortalama en yakın komşu nokta uzaklığına karşılık, farklar ortalaması : -0.004 m ve standart sapma (enterpolasyonla bulunan bir yüksekliğin ortalama hatası) : ± 0.182 m olarak elde edilmiştir.

Sonuç olarak, bu çalışmada uygulanan şekliyle -Rasgele ve aynı zamanda morfolojik çizgi ve noktalardaki dayanak noktaları kullanılarak ve değişik nokta sıklıklarına karşılık gelen duyarlıklar çerçevesinde SYM için, multikuadrik enterpolasyon yönteminin kullanılabilirliğini söylemek mümkündür. Ancak SYM'ye konu olan arazide büyük yükseklik farklarını içeren şeveler mevcut ise bu durumda, tüm bölge için tek bir enterpolasyon uygulamak yerine, şevelimizini itibariyle oluşturulacak alt bölgelerin herbiri için ayrı bir enterpolasyon uygulamak, duyarlık açısından uygun olacağından tercih edilmelidir.

SUMMARY

It has been known that the utilisation of the computer technology ensures many advantages for both producing organizations and users in the mapping field as in the disciplines. Digital height models are considerably important for the digital representation of topography in the computer aided mapping works. It is necessary to justify optimal interpolation methods for digital height models depend on their objects. In this study, it has been reviewed the creation phases of the digital height model and the multiquadric interpolation method. The ability and application possibilities of the multiquadric interpolation method in digital height model, has been experimentally studied.

It is possible to consider two phases in formation of digital height model.

In the first phase, to represent topographic structure enough number of points is established in the different places of the terrain and the x,y,z coordinates of these points are determined. These points is named "reference points" or "sampling points". This is a sampling process.

Datas for digital height model may be procured :

- From topographical surveys,
- From available maps,
- From stereomodels.

The performance of a digital height model depends on the type of terrain, on the measuring pattern (sampling pattern; the planimetric position of reference points) and point density in digitizing the terrain surface, and on the method of interpolating a new point from the measurements.

In data acquisition for digital height model the following patterns are applied :

- Contours or profiles,
- Grids (regular or irregular)
- Morphological lines and points

Patterns traditionally used in photogrammetric data acquisition are contours, while morphological lines and points are applied in ground survey.

Factors affecting the choice of sampling patterns are the purpose of digital height model, the type of terrain, the operational aspects such as the available equipment, simpling time, operator's comfort, digital processing etc. The choice of a particular sampling pattern might vary, its suitability depending on its application. For example, sampling along contour lines is the most suitable pattern if the contour line plotting is final output, the grid is most suitable if the volumetric data is needed etc.

No interpolation method can regain information which has been lost during sampling (ie due to too scarce data). Therefore the segments of terrain surface between sampled points must show only negligible

irregularities. The traditional applied standard is that segments between sampled points should approximate planes or hyperolic surfaces.

The density of reference points can be selected by the fallowing methods :

- Predetermination,
- Continuous adjustment,
- A combination of the two.

The second phase in digital height model consist of the procured data control, of the coordinate transformations and of interpolation process.

Digital height models can be use for the different purposes such as automatic contour plotting, determination the allignements of road and railway, graphical presentation of profiles and cross-sections, volume determination (including balancing of cut and fill).

Interpolation of a one-dimensional random functionwhich is defined on a two-dimensional reference space is a problem of "surface-fitting". Three basically different approaches are possible, namely :

- Interpolation by a single, global function,
- Interpolation by piecewise, locally defined functions,
- Pointwise interpolation.

In the first case, that of interpolation by a single function, all reference points are used simultaneously to define a single function $z = f(x,y)$. The multiquadric interpolation method which was investigated in this study is an effective single interpolation function.

Interpolation by piecewise functions involves dividing the whole area of the digital height model into smaller patches and representing each patch by one chosen function.

Pointwise interpolation avoids problems of computer storage, since each new point is interpolated independently, using only the surrounding subset of reference points. The coefficients of the interpolation function will vary from point to point. This increases flexibility although more computation is involved.

In the multiquadric interpolation method, topographic surface is represented a multiquadric surface :

$$\sum_{j=1}^n c_j \left[(x_j - x)^2 + (y_j - y)^2 \right]^{1/2} = z : \text{The summation of right circular cones.}$$

Where the index j denotes the n reference points. The vertex of a right circular cone is located on the xy plane at the x_j, y_j coordinates of each reference point. The coefficient c_j associated with each reference point is the asymptotic slope of the cone relative to the xy plane. The algebraic sign of c_j determines which surface of the conc in two sheets is to be entered into the summation.

In the multiquadric interpolation method is first defined a "trend function" (due to numerical simplicity) by the reference points. Trend function is a polynom 1st or 2nd order. The residual values of reference points can be used instead of z (the heights of reference points) in the computation of c_j coefficients. The height of any new point is computed from :

$$h(x,y)_i = t(x,y)_i + \sum_{j=1}^n c_j \sqrt{(y_j - y_i)^2 + (x_j - x_i)^2}$$

$j = 1, 2, \dots, n$: The number of reference points.

$i = 1, 2, \dots, m$: The number of new points.

$t(x,y)$: The height of trend surface.

Experimental studies have been realized on a portion of a 300x200m map scaled 1/1000. With this aim, first the reference points have been given random and on morphologic lines and points, and check points has been formed over the map with a space of 1 cm. Later the x, y, z coordinates of reference points and the heights of the check points have been determined.

The difference between the known heights has been tested on the stage of decision with the heights of the check points found by multiquadratic interpolation.

The results obtained from the experimental studies can be summarized as follows :

As the density of the reference points increases, the accuracy increases, that is to say, multiquadratic surface is in a better harmony with the topographical surface. Together with this, multiquadratic surface as an average represents a lower surface than the topographical surface in majority.

Trend degree doesn't effect the accuracy, that is to say, the results gained by using 1. and 2. degree trend are equivalent by sensitiveness.

The average of 13.10m in comparison to the nearest adjacent point distance, the standart deviation (the average error of square heightness found by interpolation) : $\pm 0,182m$ and the average of differences has been found as : $-0,004m$.

With the form applied in this study, as a result to the experimental studies ; it is possible to say that, multiquadratic interpolation can be used without difficulty for the digital height model. This is realized at random and morphological lines and points by using the reference points and in the frame of sensitiveness given for the different point densities.

Only in the land which is the subject to the height model, if the big height differences containing slopes exists, instead of applying only one interpolation for the whole land, It would be more appropriate to apply separate interpolation for each one of the lower zones which are formed in regard to the slope borders.

1. GİRİŞ

Yeryüzü üzerindeki çeşitli bilgilerin grafik bir göstergesi olarak harita, ülke savunması ve kalkınmasında, turizm, tarım, ormancılık gibi alanlarda, pek çok mühendislik hizmetlerinde önemli bir ihtiyaç niteliğini taşımaktadır. Dolayısıyla çok sayıda kullanıcı değişik amaçlarla, haritadan yararlanmak durumundadır. Bu bakımdan haritaların doğru, noksansız ve anlaşılabilir olmaları, ayrıca ekonomik ve hızlı olarak üretilmeleri gerekmektedir.

Doğru, noksansız ve anlaşılabilir olma özelliklerinin insangücü ile haritaya kazandırılmasında birtakım farklılıkların doğduğu, insanın daima bir hata kaynağı oluşturduğu bilinmeyen gerçeklerdir. Bundan başka alışışlagelmiş yöntemlerle harita üretimi yavaş yüremekte, belirli amaçlar için üretilen haritalardan özel amaçlar için yararlanmada güçlüklerle karşılaşılmaktadır. Bazen de haritanın noksan olduğu, yani arazi üzerindeki son durumu yansıtmadığı görülmektedir.

Bu durumda harita üretiminde

- İnsangücüne olan gereksinimi azaltma,
 - Maliyeti azaltma,
 - Üretime hız kazandırmak,
 - Üretimde standartı sağlamak ve kaliteyi yükseltmek,
 - Genelleştirme yoluyla türetilmiş harita serilerini oluşturmak,
 - Özel amaçlı harita üretimini kolaylaştmak,
 - Haritaların güncelleştirilmesini kolaylaştmak,
 - Harita yapımına temel olan bilgilerden bir bilgi bankası veya veri tabanı oluşturmak ve amaca uygun olarak sürekli bu tabandan yararlanmak,
- gibi hedeflere ulaşmak için bilgisayar teknolojisinin kullanılması gerekmekte, başka bir ifadeyle haritaların bilgisayar desteğiinde üretilmesi zorunluluğu doğmaktadır.

Harita üretiminde bilgisayar teknolojisinin kullanılabilirliği için, topografik yüzeyinin matematiksel olarak ifadesi, arazi üzerindeki bilgilerin sayısal olarak gösterilmesi ve uygun bilgisayar yazılımları gereklidir.

Topografik yüzeyin matematiksel olarak ifade edilebilmesi için, bu yüzey üzerinde yatay ve düşey konumları, yani x, y, z koordinatlarıyla bilinen noktalara ihtiyaç vardır. Bu noktalar yardımıyla topografik yüzeyi en iyi bir şekilde temsil eden bir yüzey matematiksel olarak tanımlanabilirse, söz konusu yüzey üzerinde yatay konumuyla belli herhangi bir noktanın yüksekliği de kolayca elde edilebilir. Bu şekilde topografik yüzey üzerinde istenen sayıda noktanın yükseklikleri hesaplanabilir. Böylece topografik yüzey, yatay konumları ve yükseklikleriyle bilinen çok sayıda nokta ile sayısal olarak temsil edilmiş; yani modellendirilmiş olur. Bu model arazinin sayısal yükseklik modeli (SYM) olarak tanımlanır.

SYM'in oluşturulmasında üç temel işlem söz konusudur.

İlk safhada verilerin elde edilmesi, yani bilgi depolama işlemi yer alır. Bu safhada arazinin topografik yapısını temsil edebilmek için yeterli sayıda noktanın konum bilgileri elde edilir. x, y, z koordinatlarıyla belirlenen bu noktalara örnekleme noktası veya dayanak noktası denir. Toplanan bilgiler, sürekli yararlanılmak üzere manyetik disk, manyetik şerit, manyetik kaset gibi uygun kayıt ortamlarında depolanır. Toplanan bilgilerin kontrolü, kaba hataların ayıklanması, dönüşüm işlemleri ve örnekleme noktalarından yararlanarak, arazinin çeşitli yerlerinde, istenen sayıda yeni noktanın yüksekliklerinin belirlenmesi, yani interpolasyon işlemi ikinci safhayı oluşturur.

SYM'in olabildiğince az sayıda nokta ile oluşturulması fakat aynı zamanda, topografik yapıyı da yeteri incelikte temsil etmesi gereklidir. Bu durum arazinin tipi, örnekleme noktalarının dağılımı ve sıklığı ve interpolasyon yöntemiyle sıkı sıkıya ilişkilidir. Öyle ki SYM den beklenen doğruluğa ve arazinin tipine bağlı olarak örnekleme noktalarının sıklığı başka bir ifadeyle örnekleme yoğunluğu değişecek; değişik

Örneklemeye biçimleri için de farklı interpolasyon yöntemleri kullanılabilecektir.

İlk iki safhadaki işlemlerin tamamlanmasıyla, araziyi topografik özellikleriyile temsil eden bir SYM oluşmuştur. Artık, bu modelden çeşitli amaçlar için yararlanılabilir. Bu da uygun bilgisayar yazılımlarıyla sağlanır. Bu bakımından SYM,

- Eşyükseklik eğrilerinin otomatik olarak çiziminde,
- Planlama amaçlarına yönelik eğim haritalarının hazırlanmasında,
- Karayolu ve demiryolu geçkilerinin tesbitinde,
- Kanal ve baraj inşaatlarında,
- Hava alanı yapım projelerinde,
- En ve boy kesitlerin hazırlanmasında,
- Hacim hesaplarında

etkin bir araç olarak kullanılabilir.

SYM'nin oluşturulmasında interpolasyon işlemi oldukça önemli bir yer tutmaktadır. Literatürde çeşitli interpolasyon yöntemleri hakkında teorik bilgiler yanında, deneysel çalışmalar da mevcuttur. Bu çalışmada multikuadrik interpolasyon yöntemi incelenmiş, seçilen bir model üzerinde deneySEL çalışmalar yapılmış, böylelikle yöntemin SYM çalışmalarında kullanılabilirliği araştırılmıştır.

Sayısal uygulamalar Fortran-77 dilinde yazılmış bir bilgisayar programıyla, Karadeniz Teknik Üniversitesi IBM-4341 sisteminde gerçekleştirilmiştir.

2. SAYISAL YÜKSEKLİK MODELİ İÇİN ARAZİ SINIFLAMASI

2.1. Arazi Sınıflamasının Gerekliliği

SYM için verilerin elde edilmesi ve işlenmesinde arazi yapısının bilinmesine ihtiyaç vardır. Çünkü SYM'nin niteliğinin temsil ettiği arazinin tipine bağlı olarak değişecektir. Örneklemeye noktalarının arazinin nerelerinde ve hangi sıklıkta seçilmesi gerektiğine ve hangi interpolasyon yönteminin kullanılmasının daha uygun olacağına karar verilebilmesi için arazinin yapısal özelliklerinin bilinmesine ihtiyaç vardır. Bu durumda belirli ölçütlerle dayanan bir arazi sınıflamasının yapılarak, SYM'ye konu olan arazinin yapı özellikleri itibarıyle belirli alt gruplara ayrılması ve SYM işlemlerinin buna göre yürütülmESİ gerekmektedir.

Arazinin belirli gruplara ayrılması yani sınıflama işlemi objektif olmalı, arazi nesnel ve bazı özellikler taşıyan parametreler yardımıyla tanımlanmalıdır. Sözkonusu özellikler aşağıdaki gibi sıralanabilirler, Güler (1986):

- Parametre kavramsal olarak tanımlı olmalıdır. Yani, olabildiğince arazinin fiziksel karakteristiklerinin düşünsel bir görüntüsünü yansıtmalıdır.
- Parametre, sayısal olarak kolayca ölçülebilir olmalıdır.
- Parametre, sonradan yapılacak sayısal ve istatistik değerlendirmelere uygun olmalıdır.
- Parametre, farklı ölçeklerde karşılaştırılabilir olmalıdır.

2.2. Arazi Sınıflamasında Kullanılabilecek Parametreler

Arazi engebесini tanımlayan parametrelerden bazıları olarak,

- * Gradiyent ve eğrilik,
- * Doğrultu kosinüsleri ve özvektörler,

- * Yüzey alanı,
- * Bump Frekansı,
- * Düzlemlerin dağılımı,
- * Kırık çizgiler,

sayılabilir

* Gradiyent ve Eğrilik

Bir yüzey üzerinde, herhangi bir noktadaki en büyük eğim gradiyent olarak adlandırılır ve

$S = \sqrt{\left(\frac{\partial z}{\partial x}\right)^2 + \left(\frac{\partial z}{\partial y}\right)^2}$ bağıntısıyla temsil edilir. Eğrilikde,

$$C = \sqrt{\left(\frac{\partial^2 z}{\partial x^2}\right)^2 + \left(\frac{\partial^2 z}{\partial y^2}\right)^2} \text{ olarak ifade edilir.}$$

burada engebe parametreleri olarak gradiyent ve eğriliklerin ortalama değerleri ile varyansları kullanılabilir.

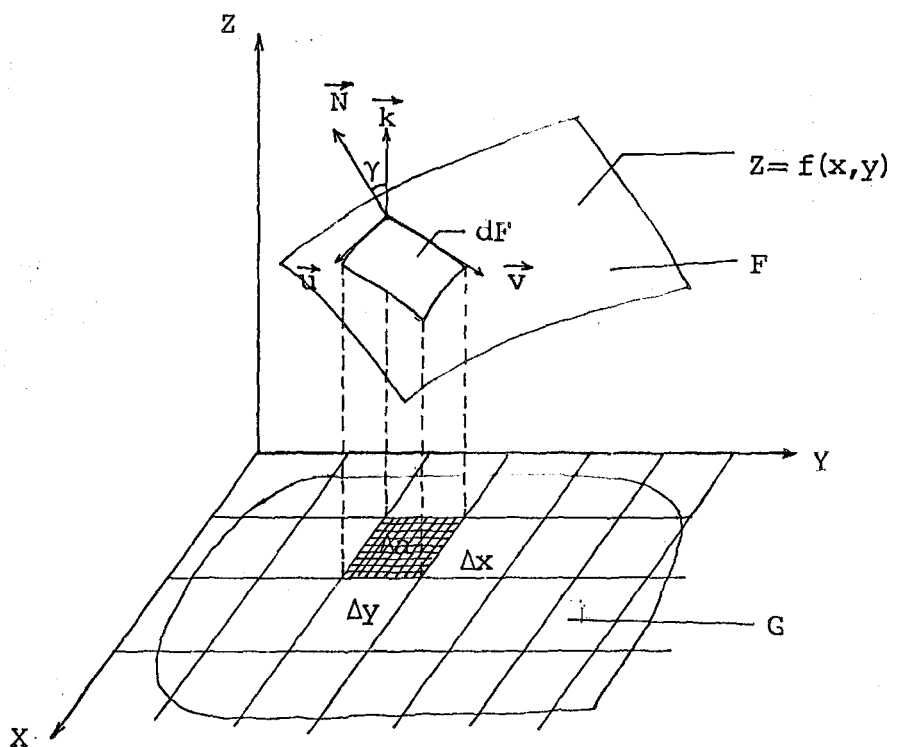
* Doğrultu Kosinüsleri ve Özvektörler

İki nokta arasında x, y, z yönlerinde doğrultu kosinüsleri matris formunda hesaplanır. Daha sonra bu matrisin kovaryans matrisi ve bunun özvektörler matrisi hesaplanır. İlk hesaplanan matris ile son bulunan özvektörler matrisi çarpılarak yeni bir matris elde edilir. Son olarak elde edilen bu matrisin çarpıklığı (üçüncü merkezsel momenti) yüzeydeki eğimlerin simetri derecesini, eksesi ise (dördüncü merkezsel moment) eğimlerin küçük ya da büyüğünün göreli çokluğunu gösterir. Çarpıklığın olması asimetrik, olmaması ise simetrik eğimlerin sözkonusu olduğunu gösterir.

* Yüzey Alanı

Yüzey alanı ile düzlem alan arasındaki oran engebe parametresi olarak kullanılır.

Yüzey alanı, yüzeyi temsil eden fonksiyondan yararlanarak aşağıdaki şekilde elde edilebilir.



Sekil - 2.1

$$dF = |\vec{U} \cdot \vec{V}|$$

$$\vec{U} = \Delta x \cdot \vec{i} + f_x(x, y) \cdot \Delta x \cdot \vec{k}$$

$$\vec{V} = \Delta y \cdot \vec{j} + f_y(x, y) \cdot \Delta y \cdot \vec{k}$$

$$\vec{N} = \vec{U} \cdot \vec{V}$$

$$N = \begin{bmatrix} \vec{i} & \vec{j} & \vec{k} \\ \Delta x & 0 & f_x(x, y) \cdot \Delta x \\ 0 & \Delta y & f_y(x, y) \cdot \Delta y \end{bmatrix}, \quad N = \Delta x \Delta y (-f_x \vec{i} - f_y \vec{j} + \vec{k})$$

$$F = \lim_{\substack{G \\ \Delta x, \Delta y \rightarrow 0}} \sum dF$$

$$dF = |\vec{U} \cdot \vec{V}| = \Delta x \cdot \Delta y \sqrt{f_x^2(x, y) + f_y^2(x, y) + 1}$$

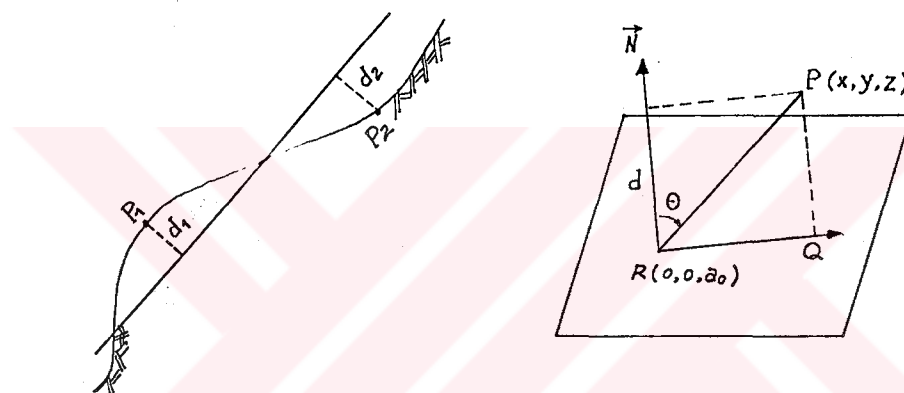
$$F = \iint_G \sqrt{\left(\frac{\partial z}{\partial x}\right)^2 + \left(\frac{\partial z}{\partial y}\right)^2 + 1} \, dx \cdot dy : \text{ yüzey alanı}$$

$$A = \sum_G \Delta x \cdot \Delta y = n_G \cdot \Delta x \Delta y$$

$$\text{Engebe parametresi} = \frac{F}{A}$$

* Bump Frekansı

Arazi üzerindeki noktalara göre dengeleyici bir düzlem yerleştirilir. Noktaların bu düzlem yüzeye dik uzaklıklarının ortalaması ve varyansı engebe parametresi olarak alınır.



Şekil - 2.2

Şekil 2.2'deki d uzaklıklarını aşağıdaki şekilde hesaplanabilir.

$$d = |\vec{RP}| \cos \theta = \frac{|\vec{N}| \cdot |\vec{RP}| \cdot \cos \theta}{|\vec{N}|} = \frac{\vec{N} \cdot \vec{RP}}{|\vec{N}|}$$

$$Z = a_0 + a_1 x + a_2 y : \text{ düzlem denklemi}$$

$$\vec{N} = -a_1 \cdot \vec{i} - a_2 \cdot \vec{j} + \vec{k}$$

$$\vec{RP} = x\vec{i} + y\vec{j} + (z - a_0)\vec{k}$$

$$\vec{N} \cdot \vec{RP} = -a_1x - a_2y + z - a_0$$

$$|\vec{N}| = \sqrt{a_1^2 + a_2^2 + 1}$$

bulunan değerler yerlerine yazılırsa

$$d = \frac{-a_1x - a_2y + z - a_0}{\sqrt{a_1^2 + a_2^2 + 1}} \text{ olarak elde edilir.}$$

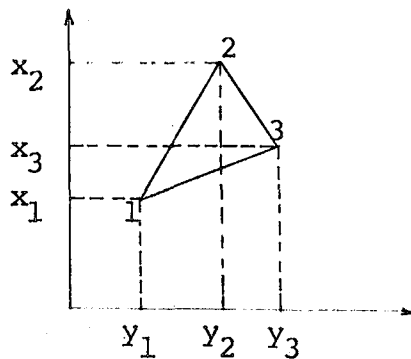
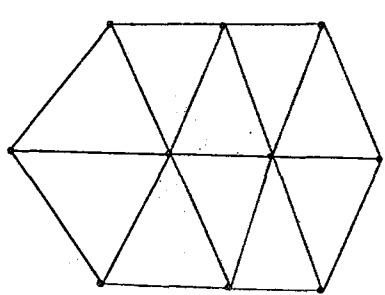
$$1. \text{ moment}, \quad M_1 = \bar{d} = \frac{\sum_{i=1}^n d_i}{n}$$

$$2. \text{ moment}, \quad M_2 = \frac{\sum_{i=1}^n d_i^2}{n}$$

$$\text{Varyans : } M_2 - M_1^2$$

* Düzlemlerin Dağılımı:

Düzlemlerin dağılımıyla ilgili parametrelerin belirlenmesinde, önce üçerli yükseklik noktası gruplarında kesişen üçgen düzlemler yerleştirilir (Şekil 2.3). Düzlemlerin normaleri ve bunlara karşılık gelen birim vektörler hesaplanır.



Şekil - 2.3

yükseklik fonksiyonları aşağıdaki gibi yazılabilir:

$$z_1 = a_0 + a_1 x_1 + a_2 y_1$$

$$z_2 = a_0 + a_1 x_2 + a_2 y_2$$

$$z_3 = a_0 + a_1 x_3 + a_2 y_3$$

Burada a_i katsayıları herhangi bir yönteme göre hesaplandıktan sonra birim vektörler :

$$\tan \gamma = \sqrt{a_1^2 + a_2^2} \quad \gamma = \arctan \sqrt{a_1^2 + a_2^2}$$

olarak bulunurlar. Bundan sonra engebe parametreleri olarak ta n üçgen sayısı olmak üzere :

Vektör kuvveti :

$$v_s = \sqrt{\frac{\sum \cos^2 \gamma_i}{n}}$$

Vektör dispersiyonu :

$$v_d = \sqrt{\frac{n \sum \cos^2 \gamma_i - (\sum \cos \gamma_i)^2}{n^2}}$$

Düzlemlerin eğim ortalaması :

$$T = \frac{\sum \tan \gamma}{n}$$

Eğimlerin varyansı

$$T_v = \frac{n \sum \tan^2 \gamma - (\sum \tan \gamma)^2}{n^2}$$

değerleri hesaplanabilir.

Yükseklik değişimlerinin az olduğu alanlarda genellikle vektör kuvveti büyük, vektör dispersiyonu küçüktür, Giler(1986).

Kırık Çizgiler

Arazi değişimindeki ani ya da keskin değişimlerin olduğu çizgiler kırık çizgi olarak adlandırılmaktadır. Kırık çizgiler matematiksel olarak yüzeyin birinci türevlerinin kesikli olduğu yerlerdir. Fiziksel olarak hendek, set, uçurum kenarları ve sırt hatları olarak bilinirler.

Bu çizgiler stereomodelde kolaylıkla tanınamazlar. Sorun, kırık çizgilerin nesnel olarak tanımlanmasıdır. Kesitlerin çeşitlibölümllerine ardışık olarak polinomlar yerleştirmek bir çözüm olabilir. Örneğin, $z = a+bx+cx^2$ parabolik eğrisi kesit parçalarına ardışık olarak yerleştirilirse, eğimdeki ani değişimlere karşılık, parabolün katsayılarında anlamlı değişiklikler görülecektir. Ancak bunun için kesitler boyunca yeteri sıklıkta nokta olması gereklidir.

2.3. F.SİLAR tarafından yapılmış olan bir arazi sınıflaması

F.Silar bazı ölçütler kullanarak arazileri dört gruba ayırmıştır, Güler(1986), Koyuncu (1981).

* Ölçütler:

- Birbirine dik iki doğrultuda arazi yüzeyinin eğimi,
- Topografik yüzey üzerindeki noktaların bu yüzeye en uygun bir biçimde yerleştirilmiş olan düzlemden sapmaları (Bump Frekensi),
- Arazideki yerel engebelerin, sıvrlilik ve çukurluklar ile kırık çizgilerin sayısı,
- Arazinin düzgünliği ve homojenliği.

* Arazi grupları:

1. Grup: düzenli, düzlem yüzeyler

Bu gruptaki araziler, yatay ya da eğik düzlemlerden ya da yavaş değişen eğimli, düzgün yüzeylerden oluşur. Kırık çizgi sayısı hektarda 10'dan az olup, kullanılacak örneklemeye noktası sayısı hektarda 20-40 arasındadır.

2. Grup: Düz, dalgalı yüzeyler

Oval şekilli yüzeylerden oluşan arazilerdir. Kırık çizgi sayısı hektarda 10-20 arasında olup, kullanılacak örneklemeye noktası sayısı hektarda 40- 100 arasındadır.

3. Grup: Büyük yapısal değişikliklerin olduğu düzensiz yüzeyler

Düzgün düzensiz eğrisel yüzeylerden oluşan bir arazi grubudur Kırık çizgi sayısı hektarda 20'den fazla olup kullanılabilecek örneklemeye noktası sayısı hektarda 100-400 arasıdır.

4. Grup: Yapay yüzeyler.

Çok sayıda bölgesel alçalıp yükselmelerin olduğu yapay yüzeylerdir. Kırık çizgi sayısı çok fazladır.

F.Silar tarafından yapılan yukarıdaki sınıflama özet olarak tablo -2.1'de görülmektedir.

Tablo-2.1

Parametre Sınıf	Eğim	Hektarda Kırık Çizgi	Hektarda Örneklemeye Noktası	Yüzeyin Tanımı
I	%5	< 10	20-40	Hafif engebeli
II	%5-%20	10-20	40-100	Orta engebeli
III	> %20	> 20	100-400	Çok engebeli
IV	Yapay yüzeyler			

2.4. Sınıflama için kullanılabilen istatistiksel bir Yöntem

Once arazinin tümü m sayıda gruba ayrılır. Bu gruplarda her nokta ya da her kombinasyon için hesaplanmış olan engebe parametreleri ayrı ayrı varyans analizlerinden geçirilir, Güler (1986).

Analiz sonunda bütün grupların eşdeğerliliği sözkonusuysa tüm gruplar toplanarak bir sınıf yapılabilir. Bilindiği gibi varyans analizinde tüm parametrelerin aynı kümeden çıkışip çıkmadıkları da belirlenmektedir. Grup değerlerinin aynı kümeye ait olmadığı anlaşılırsa komşu gruplar ikişerlikle olarak tekrar varyans analizinden geçirilirler. Analiz sırasında eşdeğer bulunan komşu gruplar bireleştirilerek, analize bireleştirilmiş gruplarla devam edilir. Sonuçta, eşdeğerli olmayan gruplar taşıdıkları engebe parametreleri ile ayrı ayrı sınıfları oluştururlar.

3. SAYISAL YÜKSEKLİK MODELİ İÇİN İŞLEM SÜRECİ

SYM işlemleri genel olarak üç grupta toplanabilir:

- * Verilerin elde edilmesi
- * Verilerin işlenmesi
- * Uygulama

Sözkonusu evrelere ait akış diyagramı Şekil 3.1'de gösterilmiştir. Genel olarak dayanak noktalarının seçilen ölçü sistemindeki koordinatlarından ibaret olan ve çeşitli sebeplerden dolayı kaba hatalarla yükü olabilen ilk veriler çeşitli yollarla elde edilmiş olabilirler.

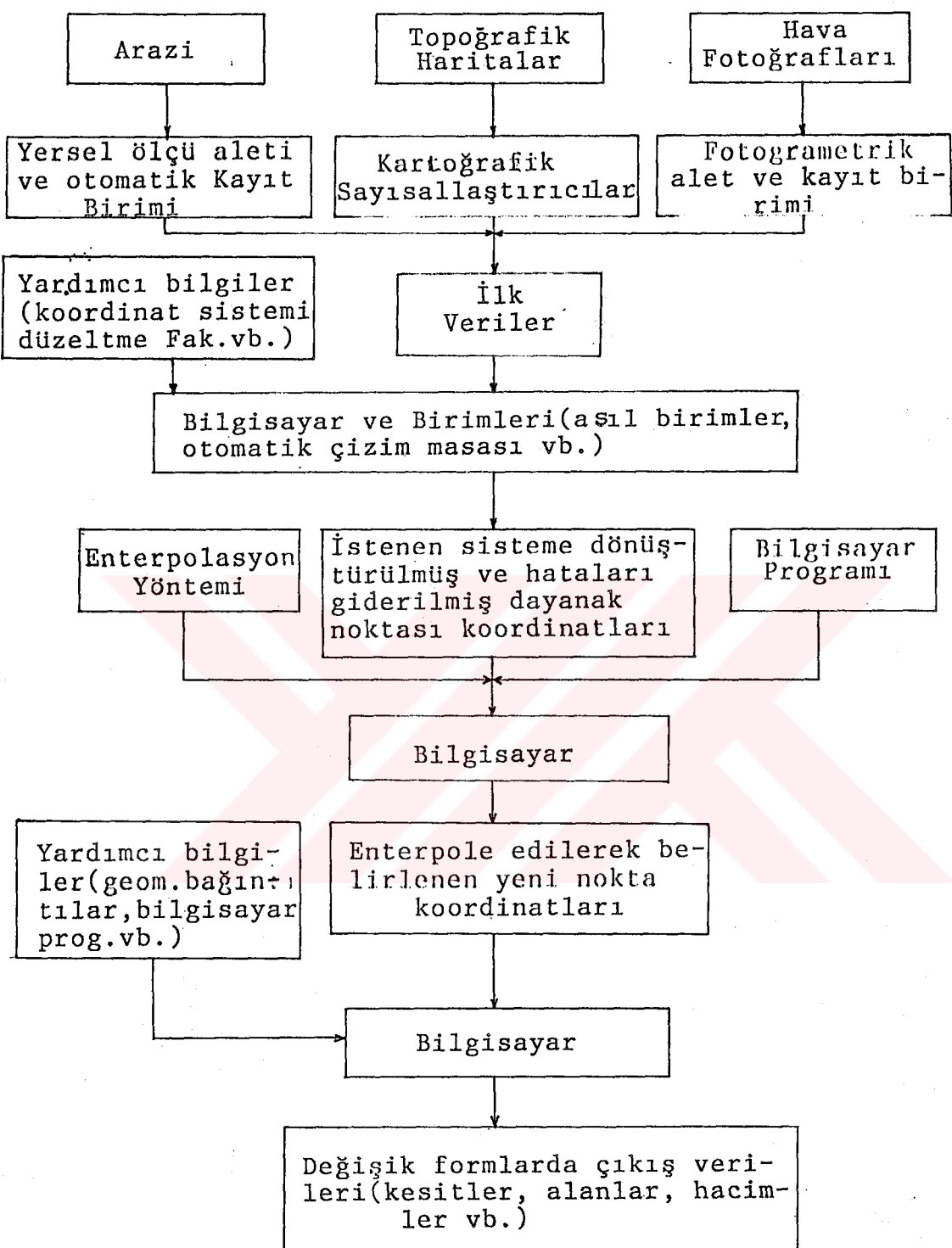
Bu noktaların x , y , z koordinatları önceden belirlenen bir koordinat sistemine dönüştürüldükten sonra, amaca göre ya planimetrik koordinatları (x , y) ile bilinen yeni noktaların yükseklik değerlerini hesaplamak, ya da belirli yükseklikteki noktaların planimetrik koordinatlarını hesaplamak (eşyükseklik eğrisi üretimi) için bilgisayara verilirler. Bilgisayar ve seçilen bir interpolasyon yöntemi ile yeni noktaların istenen koordinatları hesaplanır.

3.1. Verilerin Elde Edilmesi

SYM'nin oluşturulabilmesi için gerekli verilerin toplanması işlemine örneklemme adı verilir. Örneklemme işlemiyle x , y , z koordinatlarıyla bilinen noktalar belirlenir. Bu noktalara örneklemme noktası veya dayanak noktası denir. SYM için veriler,

- Yersel ölçülerle doğrudan araziden,
- Kartografik sayısallaştırıcılarla topografik haritalardan,
- Fotogrametrik ölçülerle fotoğraflardan elde edilir. Sözkonusu üç şeitin bir arada kullanılmasıyla da veri elde etmek mümkündür.

Verilerin işlenmesi → Verilerin elde edilmesi *



Şekil-3.1. SYM'de Genel İş Akışı
Koyuncu(1981)

3.11. Yersel Ölçmelerle Veri Toplama

Bu yolla veriler, doğrudan arazide yapılan ölçülerle elde edilir. Seçilen noktaların ölçüleri takeometrik, prizmatik, elektro-optik ya da elektronik olarak yapılır. Ancak ölçülerin otomatik olarak bir kayıt ortamına aktarılması, başka deyişle bu tarz işlem yapabilen aletlerin kullanılması, hem hata kaynaklarını azaltacak, hem de SYM oluşturulmasında harcanacak zaman açısından daha uygun olacaktır.

SYM için veri elde etmede yersel ölçümler, son zamanlarda özellikle elektronik takeometrelerin kullanılması ile önem kazanmıştır. Ölçü duyarlığı diğer veri elde etme yöntemlerinden daha yüksektir. Bu nedenle yüksek duyarlıklı işlerde ve diğer yöntemlerin uygulanamadığı durumlarda, sözelimi kadastral çalışmalar ve haritaların güncelleştirme çalışmalarında kullanılabilir.

3.12. Topografik Haritalardan Veri Toplama

Bu yöntemle verilerin elde edilebilmesi için kartografik sayısallaştırıcılar gereksinim vardır. Bu aletler ve yeterli doğrulukta haritalar mevcut ise, bu yolla diğer yöntemlere göre daha ekonomik olarak veriler elde edilebilir. Ayrıca, eski haritalar üzerindeki bilgiler de oluşturulacak bir bilgi bankasına aktarılabilirler.

Haritalar üzerinden bilgi kaydı üç şekilde gerçekleştirilebilir.

- * Nokta nokta ölçü (point mode)
- * Sürekli ölçü (stream mode)
- * Tarama (raster mode)

Nokta nokta ölçü, tek tek noktaların (parsel köseleleri, pafta köşeleri, tepeler, dayanak noktaları gibi) sayısallaştırılması amacıyla kullanılır. Sayısallaştırma sırasında izleme başlığı noktası üzerine tatbik edilerek, noktaya ait bilgiler otomatik olarak manyetik bir ortama kaydedilirler.

Sürekli ölçüde nokta kaydı üç değişik şekilde gerçekleştirilebilir:

- * Eşit zaman aralıklarında,
- * Eşit uzaklıklarla,
- * Eşit koordinat farklarıyla.

Eşit zaman aralıklı kayıt genellikle eşyükseklik eğrilerinin sayısallaştırılmasında tercih edilir. Operatör izleme başlığını eşyükseklik eğrisi üzerinde belli bir yöne doğru hareket ettirirken, belirli zaman aralıklarına (meselâ 1 sn) karşılık gelen noktaların konum bilgileri otomatik olarak kaydedilir.

Eşit uzaklık ya da koordinat farklarına göre kayıttı ise, bir noktanın sayısallaştırılmasından sonra önceden belirlenmiş bir uzaklık ya da koordinat farkındaki diğer bir noktaya geçilir.

Tarama şeklindeki sayısallaştırma için otomatik taryıcılar (scanner) kullanılır. Sayısallaştırma tamamen otomatik olarak gerçekleştirilir. Sayısallaştırılacak yüzeyde sözgelimi 0.05 mm'lik raster gözlerine karşılık gelen noktalara ait bilgiler kaydedilir Dolayısıyla bu modda diğerlerine göre daha fazla bilgi elde edilmiş omaktadır. Bu bilgilerden, daha sonra uygun yazılımlarla eşyükseklik eğrilerinin çizimi veya arazinin yükseklik dağılımını elde edilebilir.

3.13. Fotogrametrik Modelden Veri Toplama

Bu yolla veri elde etmede, komparatörler, analog stereodeğerlendirme aletleri veya analitik değerlendirme aletleri kullanılabilir. İki seçenek söz konusudur, Aydemir (1982).

- Stereomodelden boyut değiştirmeyen bir altlığa analog çizim yapılır ve daha sonra bu haritalardan sayısallaştırma yapılabılır.

- Fotogrametrik değerlendirme aletinde sayısallaştırma birimi varsa, doğrudan stereomodelden sayısallaştırma yapı-

labilir. Bütün özellikler x, y ve/veya z koordinatlarıyla sayısallaştırılabilir. Yükseklik bilgileri eşyükseklik eğrilerinin, profillerin veya rastgele ya da düzgün gridler şeklinde dağılmış kot noktalarının sayısallaştırılmasıyla elde edilir.

Burada sayısallaştırma nokta nokta olmaktadır. Dönüştürmenin kontrolü, silindir tipi hızlı bir çizim biriminde yapılacak bir çizimle sağlanabilir. Böylece muhtemel hatalar, model halen değerlendirmeye aletinde olduğundan daha kolay düzeltilebilecektir.

SYM'nin koordinatlarıyla bilinen binlerce noktadan olduğu düşünülürse, otomatik kaydedicilerin gerekliliği ortaya çıkar. Aksi takdirde, bilgilerin birtakım ara işlemlerden sonra bilgisayara aktarılması olası pekçok hatayı da beraberinde getirir.

Otomatik kaydedicilerin eklendiği analog stereo değerlendirme aletleri, bugün yaygın olarak kullanılmaktadır. Bu sayede, veri elde etmede büyük hız kazanılmış ve hata yapma olasılığ azaltılmış olmaktadır. Öte yandan analitik değerlendirme aletleri yardımıyla da gene üç boyutlu modellerden, bilgisayar programlarıyla çok değişik şekillerde veri elde etmek ve bunları çok kısa sürede işlemek mümkün olmaktadır, Aydemir (1982).

Fotogrametrik yöntemle veri toplamada dört seçenek söz konusudur, Makarovic(1976).

a- Seçerek (selective):

Koordinatlarıyla kaydedilecek noktalar ya önceden tesbit edilir veya ölçüm anında yorumlanarak belirlenir.

Nokta yoğunluğunun önceden belirlenmesi örnekleme işlemini kolaylaştırır. Önceden belirleme için, arazi engebe karakteristikleri hakkında bilgi sahibi olunması ve doğruluk isteklerinin bilinmesi gereklidir. Bunlar belirlendikten sonra örnekleme dağılım biçimine göre nokta sıklıkları belirlenir. Dayanak noktası olarak, arazi eğiminin

değişim noktaları, tepeler gibi karakteristik noktalar seçebilir. En yaygın kullanım şekli arazi yüzeyinin düzlem üçgenlerle kaplanmasıdır.

b- Uyum Sağlayarak (Adaptive):

Fazladan seçilen noktalar çevirim içi veya çevirim dışı işlemlerle ayıklanarak atılırlar. Bu şekilde veri toplamada profiller, eşyükselik eğrileri boyunca ve kot noktalarda arazinin örneklemesi uygundur.

c- Geliştirek (Progressive)

Veri toplama ve toplanan verilerin analizi işlemleri bilgisayar devrede iken ardışık olarak tekrarlanır. Örnekleme işlemi iki ya da daha çok adımdan oluşur. Önce kaba bir örnekleme yapılır. Daha sonra örnekleme iyileştirilir. Her safhada veri analizi yapılır Yüksekliğin belirli fonksiyon değerleri, verilen tolerans değerlerinin altında kalıncaya kadar ardışık analizlere devam edilir ve bir sonraki safhada örneklenecek veriler belirlenir.

d- Karışım yöntemi(Composite)

Uyum sağlayarak ve geliştirerek örneklemenin birarada kullanılması şeklinde gerçekleştirilen bir yöntemdir.

3.14. Örnekleme Noktalarının Seçimi

Örnekleme noktalarının arazinin nelerinde seçilmesi ve sıklığının ne olması gereği konusu, SYM düşüncesinin en önemli kavramlarından biridir. İyi yapılamayan bir örneklemeye kaybedilen bilgilerin, en mükemmel interpolasyon yöntemleriyle bile kazanılamayacağını B.Makarovic ilgili yazısında (1976) belirtmektedir.

Örnekleme noktalarının dağılım ve yoğunluğu birçok etkenlerle sıkı sıkıya ilişkilidir. Topografik yapının özellikleri, örneklemede kullanılan kayıt yöntemleri, SYM'den beklenen doğruluk ve uygulanacak interpolasyon yöntemine bağlı olarak örnekleme dağılımı ve yoğunluğu değişecektir.

3.141. Örnekleme noktalarının dağılımı

Yukarıda sözü edilen etkenlere bağlı olarak örnekleme noktaları değişik şekillerde düzenelenebilirler (Şekil 3.2, 3.3). Bunlar genel olarak,

- Eşyükseklik eğrileri,
- Morfolojik çizgi ve noktalar,
- Gridler (düzgün, düzgün olmayan) dir.

* Eşyükseklik Eğrileri

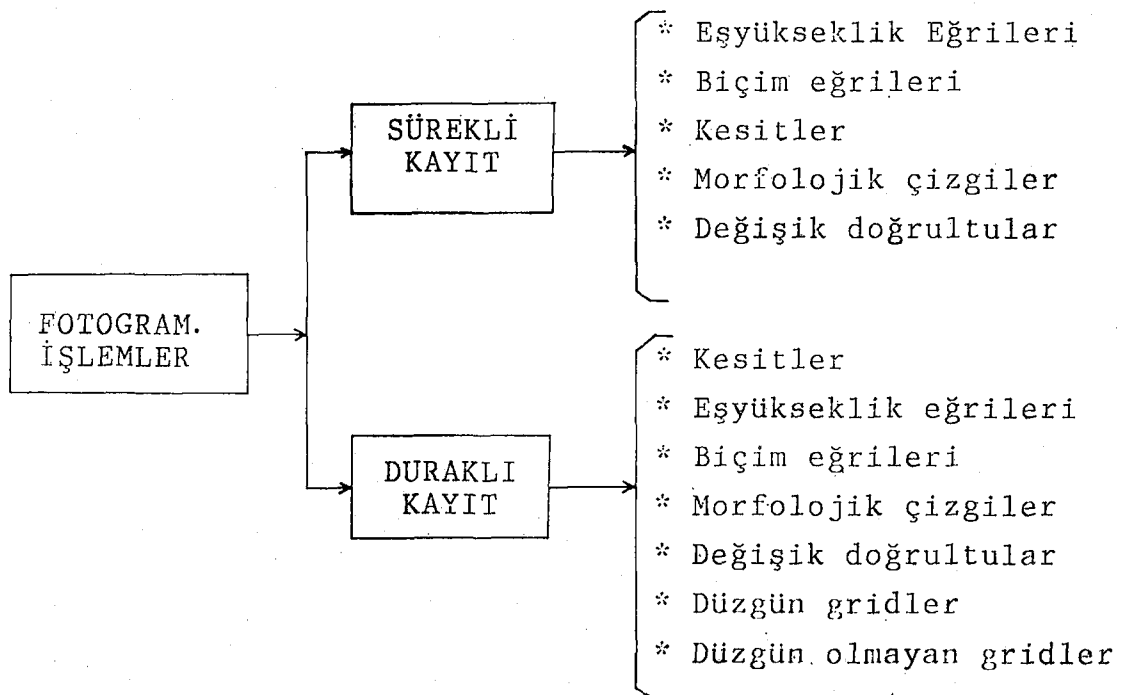
Örnekleme, topografik haritalardan sayısallaştırma yapılması durumunda eşyükseklik eğrileri, fotogrametrik modelden sayısallaştırmada ise sabit yükseklikteki çizgiler boyunca yapılır. Noktaların yatay koordinatları belirli yüksekliklere göre depolanır.

Bu tarz örnekleme arazi özelliklerini düzgün gridlerden daha iyi yansıtır. Fotogrametri aletlerinde eşyükseklik eğrilerinin sayısallaştırılması ya da değerlendirilmesi büyük bir hüner gerektirmez. Bu avantajları yanında, sürekli bir kayıt şekli olması nedeniyle duyarlığının, duraklı kayıta göre daha az olması, örnekleme işleminin tam otomatik yapılabilmesinin güç oluşu ve belli bir gereksiniminin fazla oluşu gibi sakıncaları vardır.

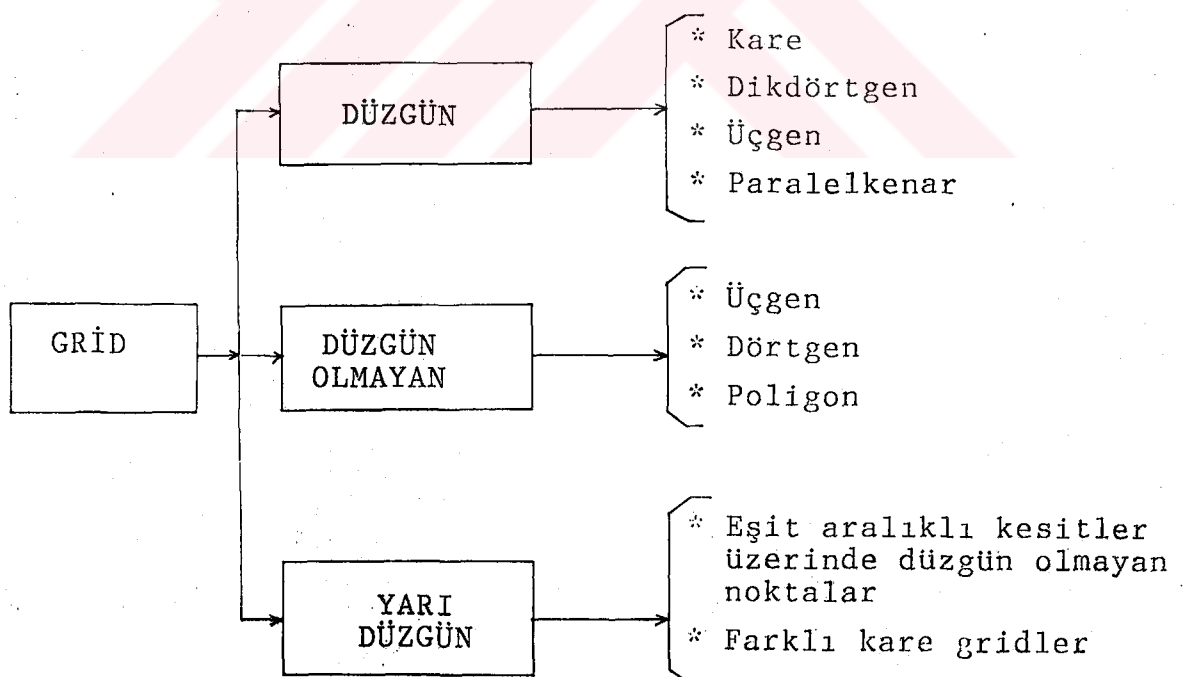
* Morfolojik çizgi ve noktalar

Anlamlı topografik noktalar (tepeler, vadiler), su ayırmaları ve su toplama çizgileri, yol ve şerit kenarları gibi "yapı çizgileri" boyunca dayanak noktası seçilir ve ölçülür. Böylece bir anlamda rastgele bir nokta dağılımı oluşturulmuş olur. Yersel çalışmalar için daha uygun bir örnekleme biçimidir.

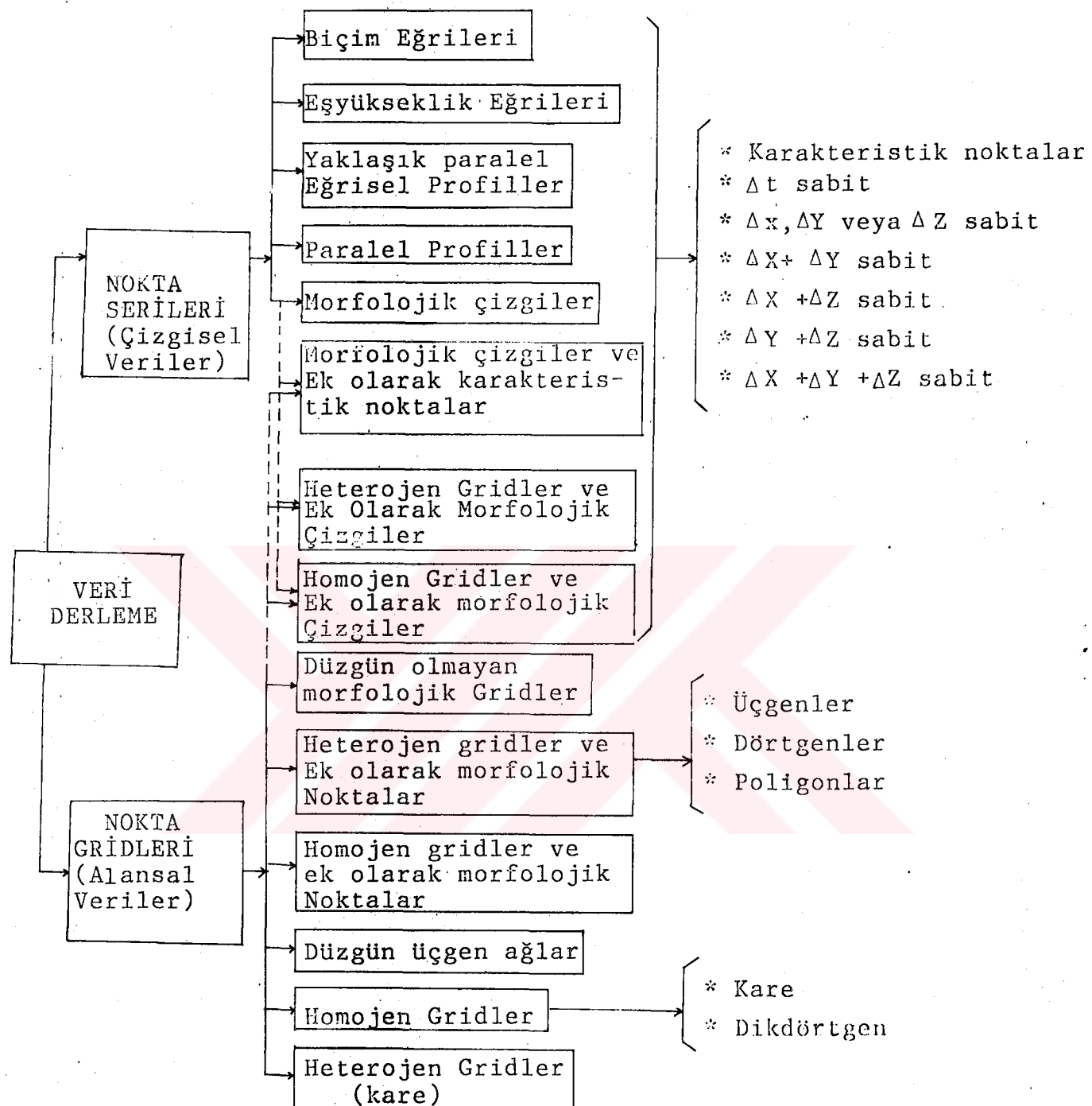
En az sayıda nokta ölçülü ve yapay özelliklerin çiziminde kullanılabilir. Ancak nokta seçimi tecrübeli bir kişi tarafından yapılmalıdır. Örneklemenin otomatikleştirilememesi, interpolasyonun daha çok ayrıntıyı içermeye -



Şekil-3.2. Örnekleme şekli ve çıkış bilgileri
(Makarovic 1976)



Şekil-3.3. Gridlerin Sınıflaması
(Makarovic 1976)



Şekil-3.4. SYM için veri sınıflaması
(Makarovic 1976)

si ve bellek gereksiniminin fazla oluşu başlica sakıncalar olarak sayılabilir.

* Gridler

Düzgün gridler: SYM'ye konu olan arazi, kare ya da dik-dörtgen şeklindeki gridlere bölünür Grid köşelerinin yükseklikleri ölçülür ve matris formunda depolanır.

Bu örnekleme biçimini özellikle fotogrametrik model için daha uygundur. Örnekleme işlemi çok kolay bir şekilde yapılabilir. Basit bir interpolasyon yönteminin kullanılması yetерli olabilir.

Düzgün olmayan gridler: Kayıt modeli olarak kare şeklinde grid kullanılır. Ancak yükseklikler sadece gerekli olan grid köşelerinde ölçülür. Veri kaynağı fotogrametrik modeldir.

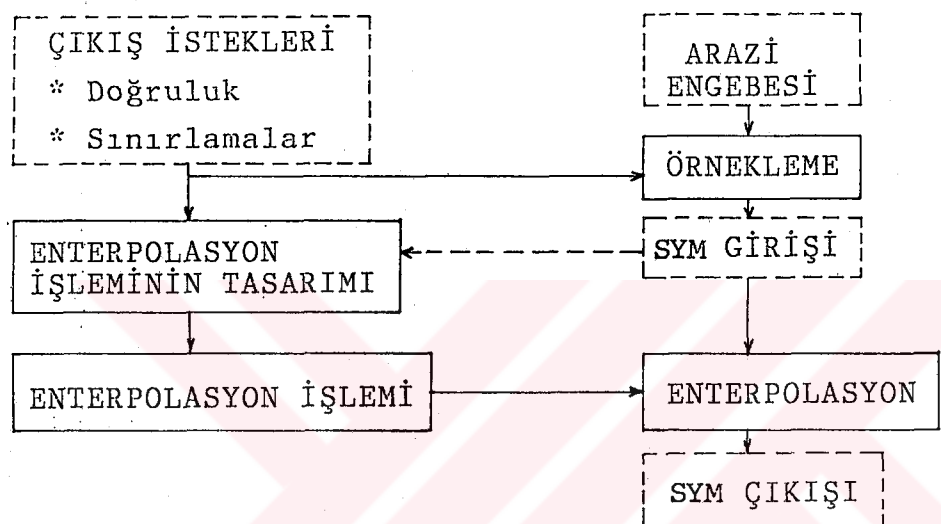
3.142. Örnekleme Yoğunluğu

Örnekleme yoğunluğu, yani örnekleme noktalarının sıklığı, SYM'nin doğruluğunu etkileyen en önemli faktörlerden biridir. Nokta yoğunluğu değişikçe, SYM'nin doğruluğu da değişecektir. Sözelimi nokta yoğunluğunun azalmasıyla, SYM'nin doğruluğu azalabilecektir. Bu konudaki araştırmalar nokta sıklığı arttıkça, doğruluğun yükseldiğini göstermektedir. [Bu durumda nokta yoğunluğunun, arazi tipi de dikkate alınarak, beklenen doğruluğa göre belirlenmesi gerekmektedir]

Nokta yoğunluğu aşağıdaki yöntemlerle belirlenebilir, Stefanovic, P., Radwan, M.M., Trempfli , K.(1977).

- Ön inceleme yapılarak,
- Kayıt sırasında sürekli ayarlanarak,
- ikisinin karışımıyla.

Ön inceleme yapılarak, nokta yoğunluğu örnekleme öncesinde belirlenebilir. bunun için, arazinin durumu ve beklenen doğruluk dikkate alınarak eşyüksekik eğrisi aralıkları ve bu eğriler boyunca komşu nokta uzaklıklarını, keza profiller arasındaki uzaklıklar ve profiller boyunca komşu noktalar arasındaki uzaklıklar ya da grid büyüklükleri belirlenebilir. nokta yoğunluğunun önceden belirlenmesi örnekleme işlemini kolaylaştırır.



Sekil-3.5. Örnekleme Enterpolasyon İlişkisi
(Makarovic 1976)

İkinci durumda, nokta yoğunluğu örnekleme sırasında ayarlanır. bu ayarlama nesnel ya da öznel olabilir. Morfolojik noktaların örneklemesi, öznel ayarlamaya bir örnektir.. Operatör, stereomodeli tarayarak arazi engebesini yorumlar ve deneyimlerine de dayanarak örneklenecek noktaları seçer. Nesnel ayarlama ise adım adım gerçekleştirilir. Önce kaba bir grid ölçümü yapılır. Elde edilen verilerin sayısal analiz yapılarak, daha nokta ölçülp ölçülmeyeceğine karar verilir. Ek ölçü yapılrsa, tekrar sayısal analiz yapılarak yeni nokta ölçülp ölçülmeyeceğine karar verilir. Bu işlemler, yete-rince nokta ölçülinceye kadar ardışık olarak devam eder. Sürekli ayarlama örnekleme hatasını artırmaksızın, ölçülen noktaların sayısını büyük ölçüde azaltır. Okunan noktalar hemen analiz edildiklerinden yanlış okuma olasılığında ortadan kalk-

mış olur. Ancak örnekleme sırasında engebe yorumlaması, verilerin analizi vb. gibi fazladan işlemler gerekir.

Ön incelemelerle belirleme ve örnekleme sırasında sürekli ayarlamanın birarada kullanılmasıyla üçüncü bir yöntem de uygulanabilir. Örneğin örnekleme yapılacak profil ya da eşyükseklik eğrisi aralıkları önceden belirlenip, bu çizgiler boyunca örnekleme sürekli ayarlama yoluyla yapılabilir.

3.2. Verilerin İşlenmesi

SYM'nin yapısına göre veri işleme safhasında bazı farklılıklar görülebilir. Genel olarak bu safhada veriler başlıca iki aşamadan geçerler. Bunlar ön işlemler ve esas işlemler olarak iki gruba ayrılabilirler.

Ön işlemler: SYM ile doğru sonuçlar elde edilebilmesi, herseyden önce örnekleme noktalarının doğruluğuna bağlıdır. Bu nedenle, bu safhada örnekleme noktaları kaba ve sistematik hatalardan arındırılır. Gereksiz bilgiler varsa bunlar çıkarılır. Ayrıca bu safhada koordinat dönüşümleri sözkonusu olabilir. Örneğin kutupsal olarak elde edilmiş koordinatların dik koordinatlara dönüştürülmesi gibi.

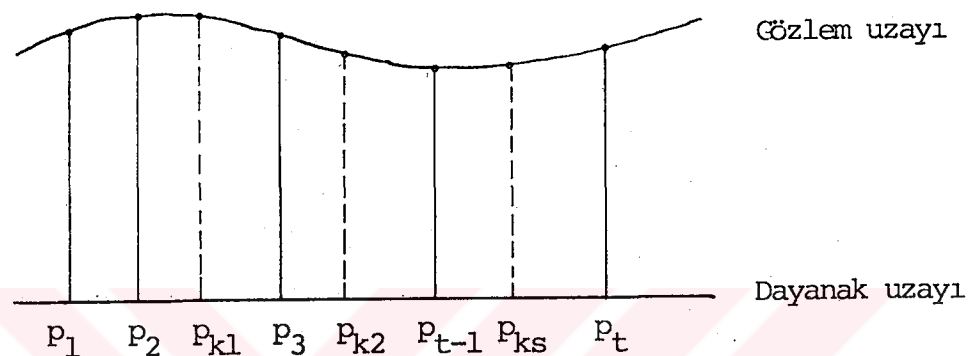
Esas işlemler: Hatalardan arındırılmış dayanak noktaları ve amaca uygun olarak seçilecek bir ya da birkaç interpolasyon yöntemi yardımıyla x , y , z koordinatlarıyla bilinen noktalardan istenen sayıda yeni noktanın yükseklikleri hesaplanır. Bu safhada ayrıca bilgilerin genelleştirilmesi, yükseklik eğrilerinin interpolasyonu, bilgi bankasının oluşturulması için gerekli hesaplama sözkonusu olabilir. Bu kısımda özet olarak, SYM için kullanılabilecek interpolasyon yöntemlerinden söz edilecektir.

3.21. Sayısal Yükseklik Modelinde Enterpolasyon

Enterpolasyon problemi genel olarak, n boyutlu P_i noktalardındaki m boyutlu vektörleri kullanarak, n boyutlu P_k

noktalarındaki m boyutlu bilinmeyen vektörlerin bulunması şeklinde tanımlanabilir, Güler (1978).

n boyutlu P_i noktaları dayanak uzayını, m boyutlu vektörler ise gözlem uzayını olutururlar (Şekil-3.6).



p_1, p_2, \dots, p_t : Dayanak noktaları

p_{kl}, \dots, p_{ks} : Enterpole edilecek noktalar

Şekil - 3.6

SYM için, dayanak uzayının iki boyutu vardır. Bunlar noktaların yatay konumlarını belirleyen x ve y koordinatlarıdır. Vektörlerin ise bir boyutu vardır. Bu da noktaların yüksekliğini belirleyen z değeridir.

Dayanak uzayını oluşturan ve x , y , z koordinatlarıyla bilinen noktalara Dayanak Noktası veya Örnekleme Noktası adı verilir.

Enterpolasyonun genel tanımı, SYM için, dayanak noktaları yardımıyla, yatay konumuyla belli, istenen sayıda

noktanın yüksekliğinin belirlenmesi işlemi olarak özelleştirilebilir. Topografik yüzey üzerinde yüksekliğin rastlantısal olarak değiştiği dikkate alınırsa, SYM açısından interpolasyonun gerçekte bir yüzey uydurma problemi olduğu anlaşılır.

Bu problemin çözümü için üç farklı yaklaşım söz konusu-
dur, Güler(1978).

- 1- Arazi yüzeyinin tümünü temsil eden tek bir fonksiyonla interpolasyon.
- 2- Yerel olarak tanımlanmış parça parça fonksiyonlarla interpolasyon.
- 3- Nokta nokta interpolasyon.

Birinci durumda, arazinin tümünü temsil eden $z = f(x, y)$ fonksiyonu aynı anda bütün dayanak noktaları kullanılarak belirlenir. Multikuadrik interpolasyon, lineer en küçük kareler interpolasyonu ve çift Fourier serileriyle interpolasyon bu tarzda uygulanabilecek yöntemlerdir.

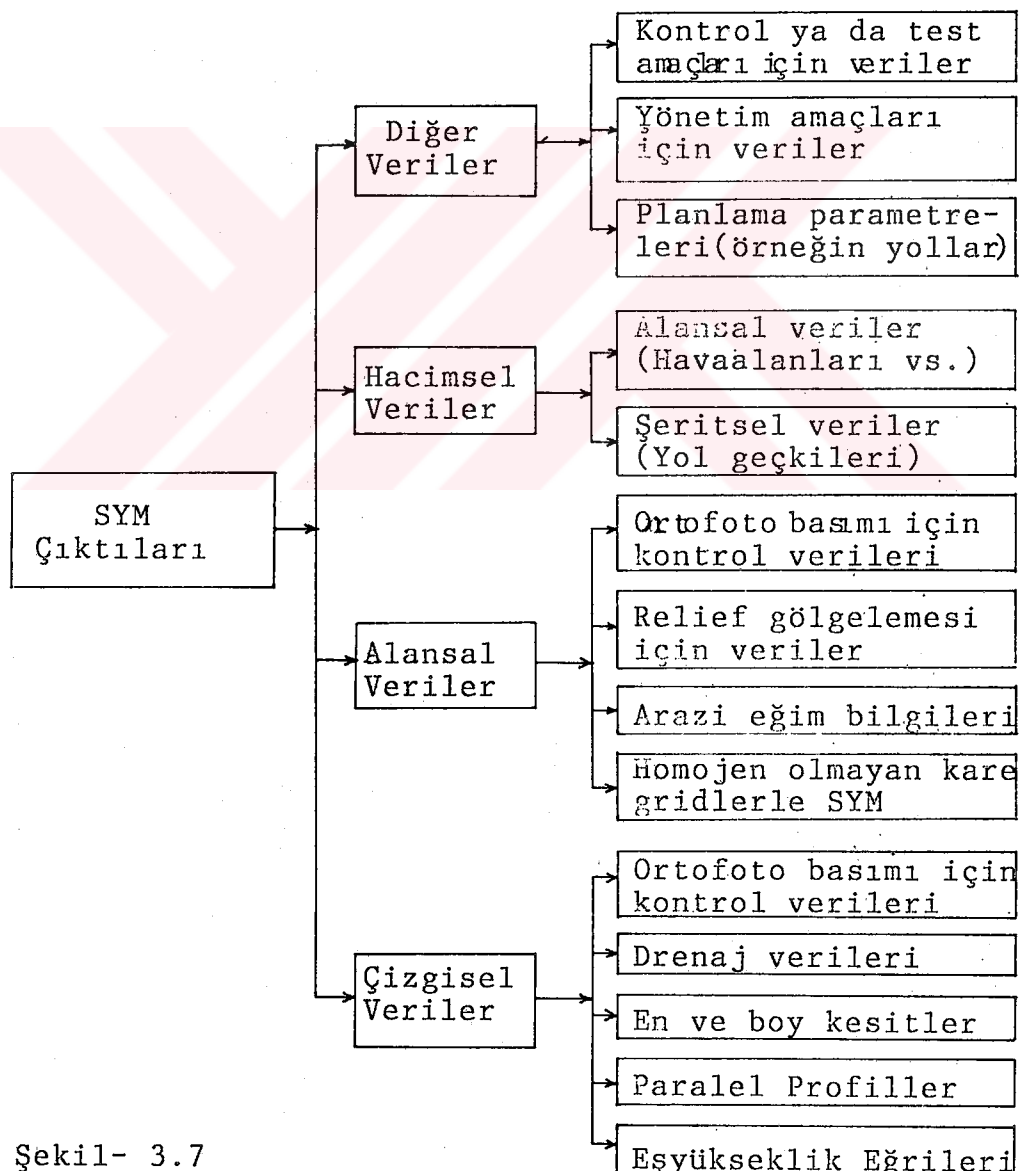
Parça parça interpolasyon durumunda, arazi parçalara bölünür ve her bir parça seçilen bir fonksiyonla temsil edilir. Ancak bu durumda parçaların sınırları boyunca çatlaklar ve süreksızlıklar oluşabilir. Bunu düzeltmek için parçaların sınırları boyunca düzgünliği sağlayan birleştirme koşulları kullanılır. Sonlu eleman yöntemi, 12 katsayılı kübik polinomlar 4 katsayılı bilineer polinomlar ve lineer interpolasyon parça parça interpolasyon için kullanılabilirler.

Nokta nokta interpolasyonda ise, yüksekliği bulunacak noktayı çevreleyen kritik daire veya karenin içinde kalan dayanak noktaları kullanılır. Dolayısıyla interpolasyon fonksiyonunun katsayıları noktadan noktaya değişir. Bu, da-ha fazla hesabı gerektirmesine karşılık esnekliği artırır. Nokta nokta interpolasyon için, ağırlıklı ortalama yöntemi, kayan yüzeyler yöntemi ve en küçük kareler yöntemi uygulanabilir.

Yukarıda sözü edilen interpolasyon yöntemleri hakkında teorik bilgiler literatürde mevcuttur. Daha ileride sadece tezin konusunu oluşturan multikuadrik interpolasyon yöntemi hakkında ayrıntılı bilgi verilecektir.

3.3. Uygulama

SYM'den çok çeşitli amaçlar için yararlanılabilir. Bu amaçlar, eşyükseklik eğrilerinin otomatik çizimi, en ve boy kesitlerin elde edilmesi, hacim hesapları ve daha pekçoğu olabilir. Giriş verilerinin tipine ve istenen çıktı özelliklerine bağlı olarak, SYM'den çok çeşitli çıktılar elde edilebilir. Bun-



Şekil- 3.7

SYM çıkışları

Makarovic (1976)

lar başlıca dört grupta toplanabilir, Makarovic (1976):

- Çizgisel çıktılar,
- Alansal çıktılar,
- Hacimsel çıktılar,
- Diğer çıktılar.

4. MULTİKUADRİK ENTERPOLASYON YÖNTEMİ

4.1. Teorik Bilgiler

Arazinin tümünü temsil eden tek bir fonksiyonla Enterpolasyon yapılır. Bunun için topografik yüzey, tek bir cins ikinci dereceden yüzey denklemlerinin toplamı olarak belirlenmektedir. Multikuadrik yüzey olarak adlandırılan böyle bir yüzey genel olarak,

$$\sum_{j=1}^n C_j \cdot q(x_j, y_j, x, y) = z \quad (4.1)$$

şeklindeki serilerle tanımlanabilir. Burada z , tek bir cins ikinci dereceden yüzeylerin toplamı olarak x ve y 'nin bir fonksiyonudur. Her bir ikinci derece yüzeyin düşey simetri ekseni dayanak noktalarının x_j ve y_j yatay konumlarında yer almıştır. C_j katsayısı, ikinci derece terimin cebrik işaretini ve eğimini belirler.

Multikuadrik yüzeylere örnek olarak,

$$\sum_{j=1}^n C_j [(x_j - x)^2 + (y_j - y)^2 + f]^{1/2} = z \quad (4.2)$$

şeklindeki iki yapraklı dairesel hiperboloid serilerinin toplamı, bir başka örnek olarak da,

$$\sum_{j=1}^n C_j [(x_j - x)^2 + (y_j - y)^2 + f] = z \quad (4.3)$$

şeklindeki dairesel paraboloid serilerinin toplamı verilebilir.

(4.2) ve (4.3)'te f , istege bağlı bir katsayıdır. (4.2) eşitliğinde $f = 0$ alınırsa Multikuadrik yüzey,

$$\sum_{j=1}^n C_j [(x_j - x)^2 + (y_j - y)^2]^{1/2} = z \quad (4.4)$$

Şeklindeki dairesel dik konilerin toplamından oluşur. C_j katsayılarının belirlenebilmesi için x , y , z koordinatlarıyla bilinen dayanak noktalarından yararlanır. Böylece dayanak noktaları dahil, yüzeyin herhangi bir noktasındaki durumu, dayanak noktalarında oluşan bütün konik yüzeylerin toplamından etkilenir, Hardy (1971).

Multikuadrik enterpolasyon yönteminde, dayanak noktalara göre bir trend yüzeyi belirlenir. (4.4) eşitliğinde C katsayılarının bulunmasında z değeri yerine, trend yüzeyinden farklar (Δh) kullanılır. Trend yüzeyi düşük dereceli bir polinom olup, genel olarak

$$t(x, y) = \sum_{i=0}^m \sum_{j=0}^{m-i} a_{ij} x^i \cdot y^j \quad (4.5)$$

şeklinde gösterilebilir. Bu ifade,

$$m=1 \text{ için}, t(x, y) = a_{00} + a_{01}y + a_{10}x \quad (4.6)$$

şeklinde bir düzlem denklemini

$$m=2 \text{ için}, t(x, y) = a_{00} + a_{01}y + a_{02}y^2 + a_{10}x + a_{11}xy + a_{20}x^2 \quad (4.7)$$

şeklinde ikinci derece bir yüzeyi (kuadrik) temsil eder. Görüldüğü gibi $m=1$ için 3, $m=2$ için 6 bilinmeyen söz konusu-dur. Bu bilinmeyenler dayanak noktalarına göre yazılacak düzeltme denklemlerinin en küçük kareler yöntemine göre çözülmesiyle elde edilebilirler. Trend yüzeyinden olan artık yükseklik değerleri (Δh) kullanılarak (4.4) eşitliğinde C katsayıları belirlenerek, SYM'ye konu olan arazide yatay konumuya bilinen istenen sayıda noktanın yükseklikleri elde edilebilir.

4.2. Multikuadrik Enterpolasyonda İşlem Adımları

1. Normlandırma: Multikuadrik enterpolasyon yönteminde (4.4.) eşitliğindeki x_i , y_i koordinatları yerine bunların

$$\bar{x}_i = \frac{x_i - x_0}{D} \quad \text{ve} \quad \bar{y}_i = \frac{y_i - y_0}{D}, \quad i=1, 2, 3, \dots n_t$$

şeklinde normaldirilmiş \bar{x}_i ve \bar{y}_i değerleri kullanılarak hesap yapılır. Burada

x_0 , y_0 : Seçilecek bir başlangıç noktasının koordinatları,

D : İsteğe bağlı seçilecek bir değer

n_t : SYM'yi oluşturan noktaların sayısıdır.

2. Trend yüzeyi katsayılarının belirlenmesi

n sayıdaki dayanak noktasından yararlanaak kurulacak düzeltme denklemleri, en küçük kareler yöntemine göre çözülebek katsayılar belirlenir. Buradan itibaren, trend derecesinin 1 olması durumuna göre açıklama yapılacaktır. Trend derecesinin 1 olması durumunda trend yüzeyi(4.6)nın eşdegeri bir ifadeyle,

$$t(x, y) = a_1 + a_2 \bar{Y} + a_3 \bar{X} \quad \text{şeklinde yazılabilir}$$

buradaki 3 bilinmeyen için, herbir dayanak noktasına göre

$$v_i = a_1 + a_2 \bar{Y} + a_3 \bar{X} - h_i \quad i = 1, 2, 3, \dots n$$

şeklinde düzeltme denklemleri yazılır. Burada h değerleri dayanak noktalarının bilinen yükseklikleridir.

Matris gösterimiyle bu ifade,

$V = Ab - h$ şeklinde yazılabilir.

$$A_{n,3} = \begin{bmatrix} 1 & \bar{Y}_1 & \bar{X}_1 \\ 1 & \bar{Y}_2 & \bar{X}_2 \\ \dots & \dots & \dots \\ 1 & \bar{Y}_n & \bar{X}_n \end{bmatrix} \quad h_{n,1} = \begin{bmatrix} h_1 \\ h_2 \\ \vdots \\ h_n \end{bmatrix} \quad b_{3,1} = \begin{bmatrix} a_1 \\ a_2 \\ a_3 \end{bmatrix}$$

Trend derecesi 2 olduğunda A matrisi ($n, 6$), b(bilinmeyenler vektörü) de $(6,1)$ boyutunda olacaktır.

Yukarıdaki eşitlik en küçük kareler yöntemine göre çözülecek bilinmeyenler,

$$b = (A^T A)^{-1} \cdot A^T h \text{ şeklinde elde edilirler.}$$

3. Trend yüzeyinden farkların hesabı:

$$\Delta h_i = h_i - a_1 + a_2 \bar{Y}_i + a_3 \bar{X}_i \quad i = 1, 2, 3, \dots, n$$

$$\Delta h = h - A \cdot b$$

$$\begin{bmatrix} \Delta h_1 \\ \Delta h_2 \\ \dots \\ \Delta h_n \end{bmatrix} = \begin{bmatrix} h_1 \\ h_2 \\ \dots \\ h_n \end{bmatrix} - \begin{bmatrix} 1 & \bar{Y}_1 & \bar{X}_1 \\ 1 & \bar{Y}_2 & \bar{X}_2 \\ \dots & \dots & \dots \\ 1 & \bar{Y}_n & \bar{X}_n \end{bmatrix} \times \begin{bmatrix} a_1 \\ a_2 \\ a_3 \end{bmatrix}$$

4. Multikuadrik yüzeyin katsayılarının (C) hesabı:

(4.4.) eşitliği matris gösterimiyle

$$\Delta h = C \cdot S \text{ şeklinde yazılırsa buradan}$$

$$C = S^{-1} \cdot \Delta h \text{ olduğu görüülür}$$

$$C_{n,1} = \begin{bmatrix} c_1 \\ c_2 \\ \dots \\ c_n \end{bmatrix} \quad S_{n,n} = \begin{bmatrix} s_{11} & s_{12} & \dots & s_{1n} \\ s_{21} & s_{22} & \dots & s_{2n} \\ \dots & \dots & \dots & \dots \\ s_{n1} & s_{n2} & \dots & s_{nn} \end{bmatrix}$$

Burada S matrisinin elemanları dayanak noktalarının birbirlerine olan uzaklıklarından oluşmaktadır.

$$S_{ij} = \sqrt{(\bar{Y}_j - \bar{Y}_i)^2 + (\bar{X}_j - \bar{X}_i)^2}$$

Bu durumda S 'nin i inci satırı, i inci dayanak noktasının diğer bütün dayanak noktalarına olan uzaklıklarından oluşmaktadır. Bu durunda S matrisi köşegeni sıfır olan simetrik bir matristir

5. Yatay konumuyla belli noktaların yüksekliklerinin hesabı:

$$h(x, y) = t(x, y)_j + \sum_{i=1}^n c_i \sqrt{(\bar{Y}_i - \bar{Y}_j)^2 + (\bar{X}_i - \bar{X}_j)^2}$$

$i = 1, 2, \dots, n$: dayanak noktası sayısı

$j = 1, 2, \dots, m$: Yüksekliği bulunacak nokta sayısı

Matris gösterimiyle bu ifade,

$h = t + C^T \cdot D$ şeklinde yazılabilir.

$$t_{m,1} = \begin{bmatrix} t_1 \\ t_2 \\ \dots \\ t_m \end{bmatrix} = \begin{bmatrix} 1 & \bar{y}_1 & \bar{x}_1 \\ 1 & \bar{y}_2 & \bar{x}_2 \\ \dots & \dots & \dots \\ 1 & \bar{y}_m & \bar{x}_m \end{bmatrix}_{m,3} \times \begin{bmatrix} a_1 \\ a_2 \\ a_3 \end{bmatrix}$$

$$h_{m,1} = \begin{bmatrix} h_1 \\ h_2 \\ \dots \\ h_m \end{bmatrix} \quad D_{n,m} = \begin{bmatrix} d_{11} & d_{12} & \dots & d_{1m} \\ d_{21} & d_{22} & \dots & d_{2m} \\ \dots & \dots & \dots & \dots \\ d_{n1} & d_{n2} & \dots & d_{nm} \end{bmatrix}$$

Burada D matrisinin elemanları dayanak noktalarının, yeni noktalara olan uzaklıklarından oluşmaktadır. Yani D matrisinin i .inci satırı i .inci dayanak noktasının, m sayıda yeni noktanın herbirimine olan uzaklıklarından ibarettir.

$$d_{ij} = \sqrt{(\bar{y}_i - \bar{y}_j)^2 + (\bar{x}_i - \bar{x}_j)^2} \quad i = 1, 2, \dots, n \\ j = 1, 2, \dots, m$$

5. SAYISAL UYGULAMALAR

5.1. Uygulama Bölgesinin Seçimi ve Genel İş Akışı

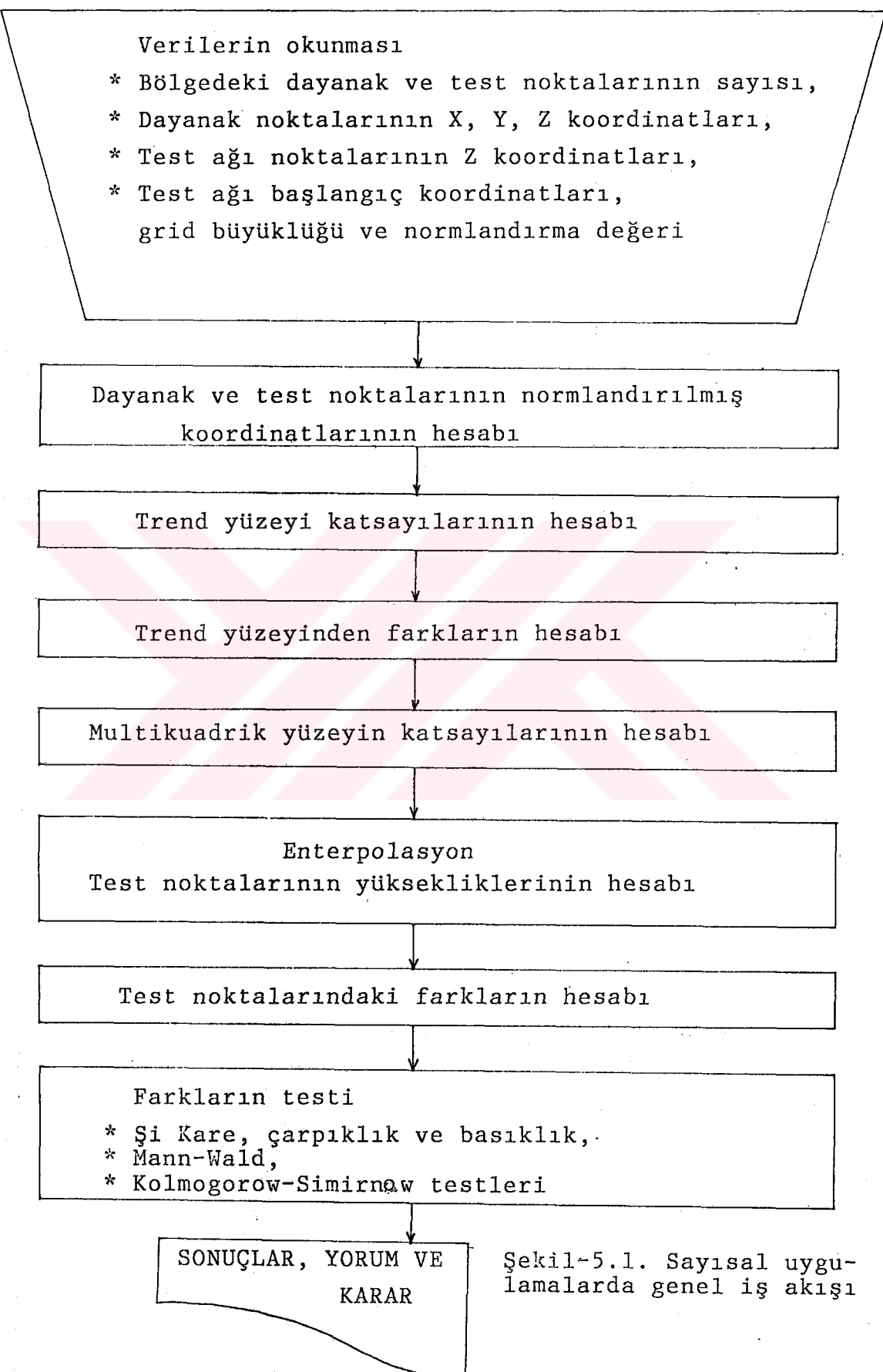
Sayısal uygulamaların yapıldığı alan TRABZON 20K-IV paftasının, x-ekseni yönünde 53900-54100, y-ekseni yönünde 52500-52800 değerleriyle sınırlandırılmış 300x200 m'lik bir bölümündür. Harita ölçeği 1/1000 ve eşyükseklik eğrisi aralığı 1 m'dir. Uygulama bölgesinde arazinin ortalama eğimi 0.24 olup, en küçük eğim 0,06, en büyük eğim 0.40 dır.

Seçilen model üzerinde sayısal uygulamalar yapmak için önce, rastgele ve arazinin karakteristik yerlerinde dayanak noktaları seçilerek, bunların yükseklikleri belirlenmiş ve bu yüksekliklere göre, astrolon bir altlığı eşyükseklik eğrileri çizilerek sayısal uygulamaların yapılacağı model elde edilmiştir.

Bundan sonra, seçilmiş olan dayanak noktalarının x, y koordinatları, koordinatografla aletinde okunmuştur. Aynı alet yardımıyla, model üzerinde 1 cm aralıklı olarak denetleme grid ağı (test ağı) oluşturulmuştur.

Üçüncü sahada test ağını oluşturan noktaların yükseklikleri doğrusal interpolasyonla hesaplanmıştır.

Elde edilen değerlerin kontrolünden sonra, dayanak noktalarının x, y, z koordinatlarından, bir bilgisayar programı yardımıyla test noktalarının yükseklikleri multikuadrik interpolasyonla hesaplanmıştır. Bu noktaların bilinen (doğrusal interpolasyonla bulunmuş olan) yükseklikleriyle, hesaplanan yükseklikleri arasındaki farklar ile bu farklara ait farklar ortalaması (\bar{V}) ve standart sapma (S) hesaplanmış; Farklara şı Kare, çarpıklık ve basıklık, Mann-Wald ve Kolmogorow-Simirnow testleri uygulanmış, \bar{V} ve S değerleri ise F-testi, T-testi ve Bartlett testlerine tabi tutulmuşlardır.



5.2. Sayısal Uygulama Sonuçlarının İrdelenmesi

I. Bölge: Ek - 1 de görülen bölgede 459 test noktası vardır. Bu bölgede ilk olarak 155 dayanak noktası kullanılarak, test noktalarının yükseklikleri ve bu noktalarda oluşturulan farklar belirlenmiştir. Elde edilen farkların ortalaması (\bar{V}) ve standart sapmanın (S, hesaplanan bir yüksekliğin karesel ortalama hatası) oldukça büyük olduğu, farkların da normal dağılımda olmadığı görülmüştür.

Bunun üzerine örnekleme yoğunluğu artırılarak 172 dayanak noktasıyla interpolasyon yapılmış, farkların yine normal dağılımda olmadığı, \bar{V} ve S değerlerinde azalma olduğu görülmüştür. Her iki örnekleme yoğunluğu için bulunan sonuçlar incelendiğinde, ek-1 de görülen şev bölgesi civarında (Şevin alt ve üst kısmında 7-8 m ye varan yükseklik farkları mevcut) büyük olduğu gözlenmiş, bu nedenle şev kenarlarında nokta sıklığı artırılarak, I. bölgesinde son olarak 194 dayanak noktasıyla interpolasyon yapılmış, \bar{V} ve S değerlerinin azalması ve farkların normal dağılımda çıkışmasına karşın, sözkonusu bölgede halâ büyük farklara rastlanmıştır.

Bu bölgede yapılan testlerden,

- Farklı Nokta sıklıklarında duyarlığın farklı olduğu, başka deyişle dayanak noktası sayısı arttıkça duyarlığın arttığı,
- Farklar ortalamasının, her üç nokta sıklığı için de "sıfır" kabul edilemeyeceği ve bu ortalamaya göre multi-kuadrik yüzeyin gerçek yüzeyden daha alçak olduğu,
- 1. veya 2. derece trend yüzeyi kullanılmasının sonuçların duyarlığı üzerine etkisi olmadığı, yani her iki durumda elde edilen sonuçların duyarlıkça eşdeğer olduğu anlaşılmıştır.

Şev Bölgesi

Farkların büyük değerlere ulaştığı bu kısımda, sadece şev civarındaki dayanak noktaları kullanılarak bir interpolasyon

yapılmış ve farklılarda, I. bölgedeki duruma göre azalma olup olmadığı gözlenmiş, sonuçta değişim olmadığı görülmüştür. Sadece bu bölgeye ait \bar{V} ve S değerlerinin oldukça büyük olması dolayısıyla, bu bölgedeki farkların I. bölgede elde edilen sonuçları olumsuz yönde etkilediği anlaşılmıştır. Bu durumda I. bölgede yapılan uygulamalara göre doğru karar verilemeyeceği düşüncesiyle, sözkonusu şev civarı dışında tutularak II. bölge oluşturulmuş ve sayısal uygulamalara bu bölgede devam edilmiştir.

II. Bölge

Bu bölgede dört farklı Nokta sıklığı (116, 129, 138, 142 dayanak noktası) için multikuadrik enterpolasyon uygulanmıştır. Bölgede test noktası sayısı 340'dır.

I. bölgenin 155 noktalı durumuna karşılık gelen 116 dayanak noktası ile enterpolasyon sonucunda oluşan farklılar dışında, diğer üç durumda elde edilen farkların normal dağılımda olduğu anlaşılmıştır. Birbirine çok yakın, hatta I. bölgede daha küçük olan, ortalama en yakın komşu nokta uzaklıklarına karşılık, II. bölgede çok daha iyi \bar{V} ve S değerleri elde edilmiştir.

I. bölgede 194 nokta için ulaşılan 12.47 m.lik ortalama en yakın komşu nokta uzaklığına yakın bir değerle, bu bölgede elde edilecek sonuçları görmek amacıyla, son bir sıkıştırma ile dayanak noktası sayısı 142'ye çıkarıldığında (ortalama en yakın komşu nokta uzaklığı 13.10 m) en iyi sonuçlar, 2.derece trend yüzeyi ile elde edilmiştir ($\bar{V} = -0.004$ m, $s = \pm 0.182$ m).

Bu bölgede yapılan testlerden,

- Üç ayrı nokta sıklığı için bulunan sonuçların duyarlık yönünden farklı olduğu, nokta sıklığı arttıkça duyarlığın da arttığı,

- 116 nokta dışında, diğer üç nokta sıklığı için bulunan farklılar ortalamasının "Sıfır" kabul edilebileceği,

- Trend derecesinin sonuçlarının duyarlığına fazla et-

kisi olmadığı, yani farklı trend dereceleriyle elde edilen sonuçların duyarlılıkça eşdeğer olduğu anlaşılmıştır

III. Bölge

SYM'ye konu olacak bir alanda, birtakım yerlerin -burada sözkonusu olan şev bölgesi- dışında tutularak interpolasyon yapılması tabi ki çözüm olamaz. Çünkü SYM tüm alan için sözkonusudur. Bu durumda nasıl bir çözüm uygulanabilir?

Çözüm için şev bölgelerinin sınırları itibarıyla alt bölgelere ayrılarak, her bölge için ayrı bir interpolasyon uygulanması düşünülmüş, bu amaçla III. bölge oluşturulmuştur. Test noktası sayısı 235'tir.

III. bölgедe ilk olarak I.bölgенin 155 noktalı durumuna karşılık (değişik herhangi bir sıklaştırma yapılmadan ortala- ma en yakın komşu nokta uzaklığı 14.80 m) 77 dayanak noktası ile bir interpolasyon yapılmış, I. bölgeye göre, \bar{V} değerinde 6-7 cm, S değerinde de 10 cm'ye varan düşüşler ve şev civa- rındaki büyük farklarda azalmalar görülmüştür. Ayrıca I.bölgедeki eşdeğer durumun aksine olarak farklar normal dağılım- lı bulunmuştur.

İkinci adımda dayanak noktası sayısı 96'ya çıkarılmış (I.bölgенin 194 noktalı durumuna karşılık gelmektedir ve or- talama en yakın komşu nokta uzaklığı 12.87 m'dir) S değerinde 2 cm, V değerinde de 3 cm azalma olduğu görülmüştür. Yapılan F-testi ile bulunan sonuçların, I.bölgедe elde edilen sonuçlardan duyarlılıkça farklı olduğu, t-testi ile 77 ve 96 dayanak noktası için \bar{V} değerlerinin "sıfır" kabul edilebileceği yani III. bölgедe, multikuadrik yüzeyin, I.bölgeye göre ger- çek yüzeye daha iyi uyum sağladığı, kısaca III. bölgедe elde edilen yüksekliklerin daha duyarlı olduğu anlaşılmıştır.

Bu durumda, modeldeki gibi, alt ve üst kısımları arasında büyük sayılabilen yükseklik farklarının bulunduğu şevleri içeren alanlarda, bölgенin tümü için multikuadrik enter- polasyon uygulamak yerine, şev sınırları itibarıyla, esas

alanın alt bölgelere ayrılarak her bir alt bölgeye ayrı ayrı multikuadrik interpolasyon uygulanmasının daha duyarlı sonuçlar vereceğinden daha uygun olduğu söylenebilir.

Bu bölgede bazı sıklaştırımlarla dayanak noktası sayısı 102'ye çıkarılmış, 12.63 m'lik ortalama en yakın komşu nokta uzaklığı ve 1. derece trend yüzeyiyle en iyi sonuç olarak,

$$\bar{V} = -0.009 \text{ ve } S = \pm 0.202 \text{ m değerleri elde edilmiştir.}$$

Sayısal uygulamalarda son olarak, model şev kenarları dikkate alınarak 4 alt bölgeye ayrılmış ve multikuadrik interpolasyonla, grid ağı köşe noktalarının yükseklikleri hesaplanarak, modelin eşyukseklik eğrileri çizilmiştir.

5.3. Sayısal Uygulama Sonuçları

Bu kısımda yapılan sayısal uygulamalar ve testler ayrıntılı olarak gösterilmiştir. Kullanılan büyülükler aşağıda açıklanmıştır.

Farklar ortalaması : \bar{v}

Standart sapma : s

(Enterpolasyonla bulunan bir yüksekliğin ortalama hatası)

Histogramlarda kullanılan semboller:

v : Farklar (test noktalarının bilinen yükseklikleriyle, interpolasyonla bulunan yüksekliklerin farkı)

n: Yineleme sayısı (Yığılmalar)

5.3.1. I. Bölge

1. nokta sıklığı :

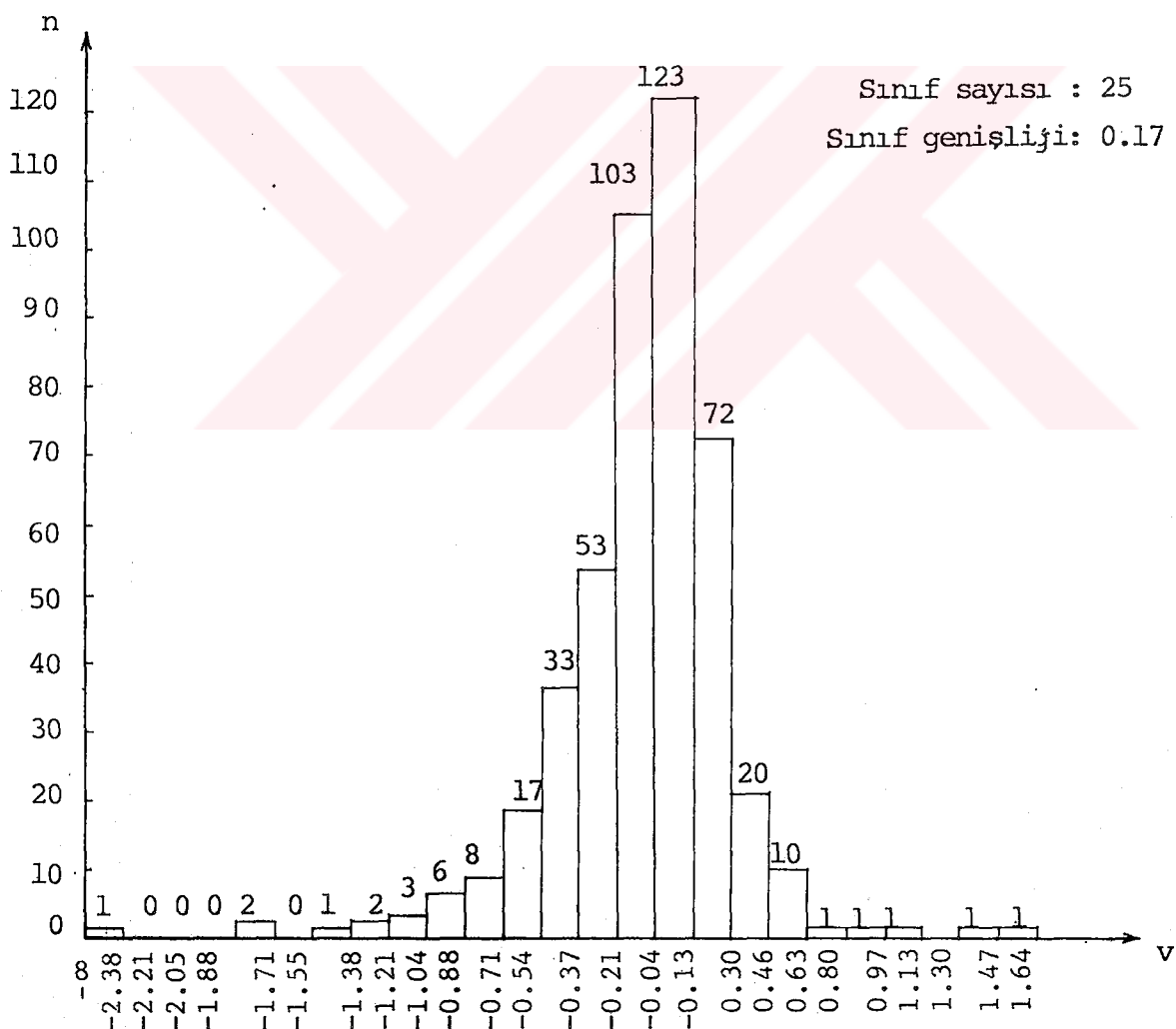
Dayanak noktası sayısı: 155

Ortalama en yakın komşu nokta uzaklığı: 14.03 m

Trend derecesi : 1 için, \bar{v} : - 0.082 m
 s : \pm 0.375 m

trend derecesi : 2 için, \bar{v} : - 0.086 m
 s : \pm 0.375 m

* Her iki durum için de farklar normal dağılımda değil
dağılım sivri



Şekil- 5.2 155 Nokta için Farkların Histogramı

2. nokta sıklığı

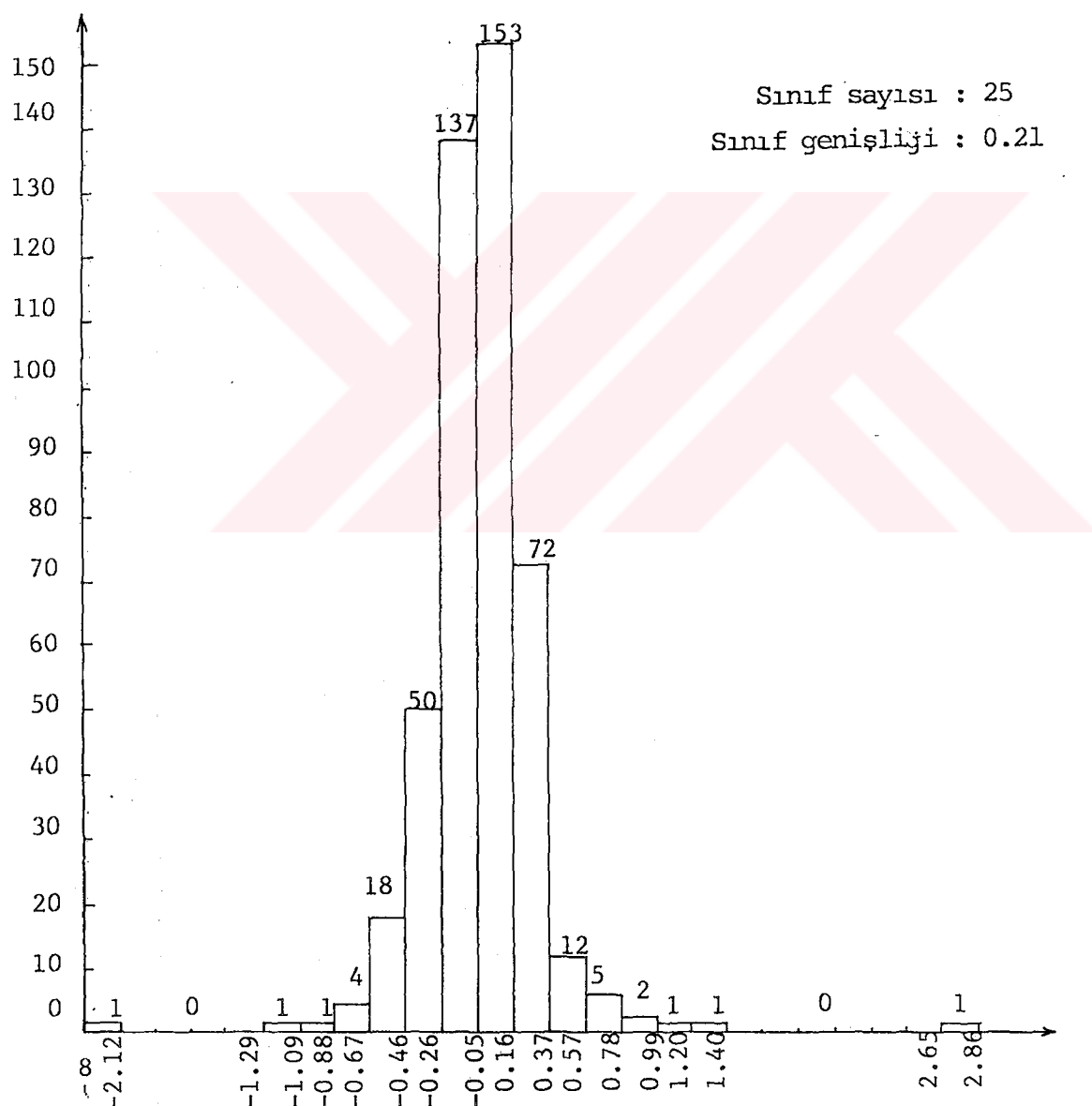
Dayanak noktası sayısı : 172

Ortalama en yakın komşu nokta uzaklığı : 13.52 m

Trend derecesi : 1 için, \bar{v} : - 0.033 m
s : ± 0.321 m

trend derecesi : 2 için, \bar{v} : - 0.036 m
s : ± 0.320 m

*farklar, her iki durum için de normal dağılımda değil,
dağılım sivri



Şekil - 5.3 172 Nokta için farkların dağılımı

3. Nokta Sıklığı

Dayanak noktası sayısı : 194

ortalama en yakın komşu nokta uzaklığı : 12.47 m

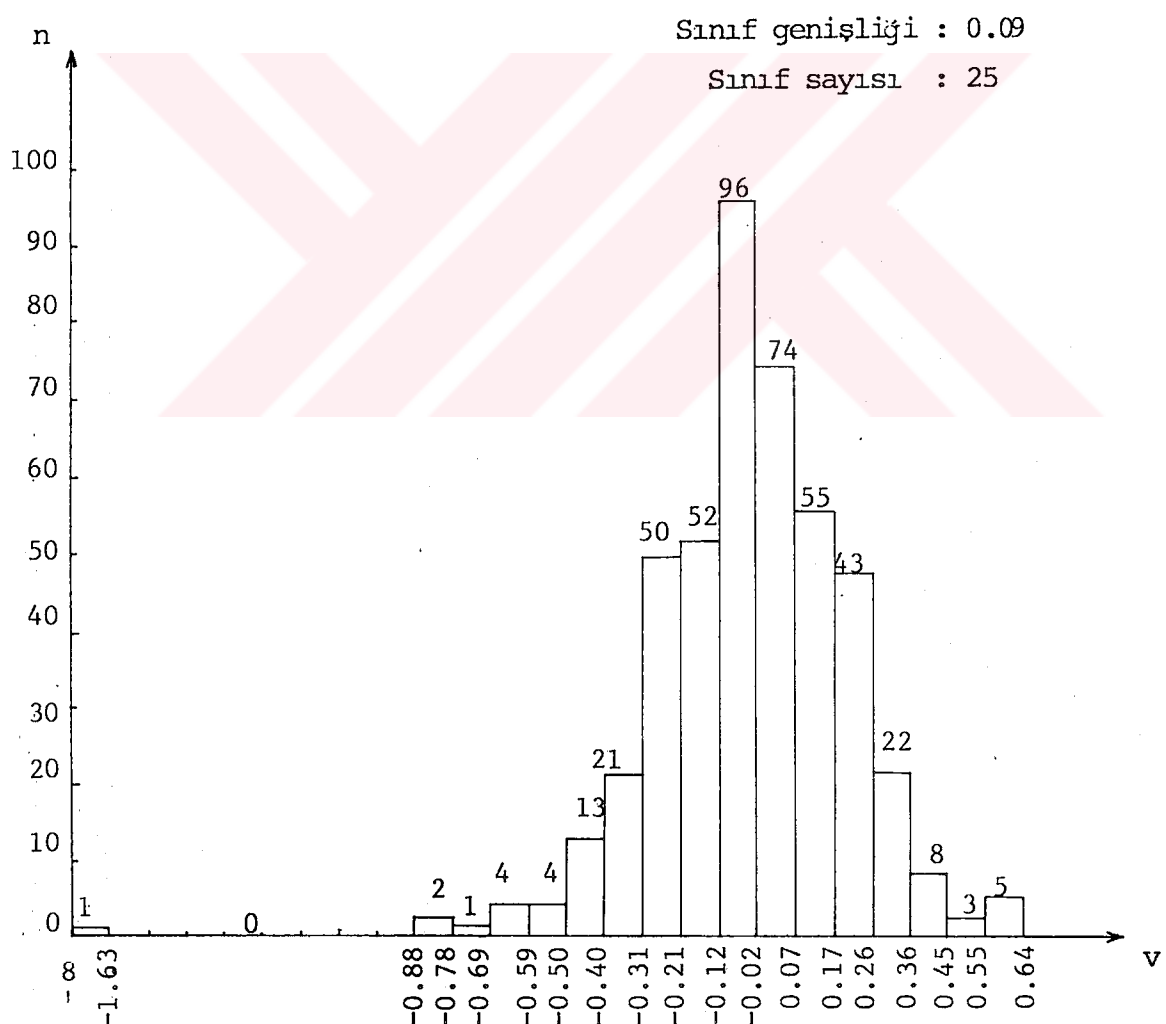
trend derecesi : 1 için, \bar{v} : - 0,038 m

s : \pm 0.240 m

trend derecesi : 2 için, \bar{v} : - 0.041 m

s : \pm 0.239 m

* Testler, her iki durum için farkların normal dağılımında olduğunu göstermiştir. Ancak dağılımda sivrilik mevcut



Şekil - 5.4 194 nokta için farkların dağılımı

I. BÖLGE İÇİN BAZI TESTLER

- İki ayrı örneklem sıklığı için, standart sapmaların eşdeğerliğinin testi

İki standart sapmanın eşdeğerlilik testi (F-testi) aşağıdaki gibi uygulanır:

s_1, f_1 : Birinci grubun standart sapma ve serbestlik derecesi

s_2, f_2 : İkinci grubun standart sapma ve serbestlik derecesi

$E\{s_1^2\} = \sigma_1^2$ } Deneysel varyansların ümit değerleri

$E\{s_2^2\} = \sigma_2^2$

$H_0 : \sigma_1 = \sigma_2$
} hipotezler
 $H_s : \sigma_1 \neq \sigma_2$

$V = \frac{s_1^2}{s_2^2}$: test büyülüüğü

H_0 hipotezinin geçerli olduğu durumda V değeri F-dağılımındadır. F-dağılımının tablo değerleri (1) den büyük değerler için düzenlenigidinden deneysel varyansların büyük olanı paya yazılır.

$q = F_{f1, f2}, 1 - \frac{\alpha}{2}$: sınır değer

q değeri, payın serbestlik derecesi f_1 , paydanınki f_2 olmak üzere, α -yanılma olasılığı için F dağılımı tablolarından alınır.

$V \leq q$ ise standart sapmalar eşdeğerdir

$V > q$ ise standart sapmalar eşdeğer değildir.

155 ve 194 nokta için bu test uygulanırsa:

$$s_1 = 0.375$$

$$s_2 = 0.240$$

$$f_1 = f_2 = 458$$

$$v = 2.44$$

$$q_{\infty, \infty, 0.975} = 1$$

$V > q$ olduğundan, standart sapmalar eşdeğer kabul edilemez. Yani her iki örnekleme sıklığı ile bulunan sonuçlar duyarlık yönünden birbirinden farklıdır.

Aynı yolla, trend derecesinin duyarlığa etkisi araştırılabilir:

Yukarıdaki test bu kez aynı örnekleme sıklığında, iki ayrı trend için elde edilen standart sapmaların testi şeklinde uygulanır.

Dayanak noktası sayısı: 194

trend derecesi: 1 için, $s_1 = 0.240$

trend derecesi: 2 için, $s_2 = 0.239$

$v = 1$

$q_{\infty, \infty, 0.975} = 1$

$V = q$ olduğundan her iki durumda elde edilen standart sapmalar eşdeğer kabul edilebilir. Buradan trend derecesinin duyarlık üzerinde etkili olmadığı söylenebilir. Başka deyişle, 1 veya 2. derece trend kullanarak uygulanan multikuadrik interpolasyonlar arasında fark yoktur.

* Farklar ortalamasının sıfırdan farklı olup olmadığını testi (t-testi) :

grid noktası sayısı : n

farklar ortalaması : \bar{v}

standart sapma : s

\bar{v} 'nin ortalama hatası: s_v

$$s_v = \frac{s}{\sqrt{n}}$$

$$T = \frac{\bar{v} - \mu}{s_v} : \text{test büyüklüğü}$$

$q_{f, 1-\frac{\alpha}{2}}$ sınır değer; f ve $1-\frac{\alpha}{2}$ için t-dağılım tablolardan alınır.

$$\begin{aligned} H_0 &: \mu = 0 \\ H_s &: \mu \neq 0 \end{aligned} \quad \text{hipotezler}$$

* $T \leq q$ ise H_0 hipotezi geçerlidir. Yani farklar ortalaması "sıfır"dır.

* $T > q$ ise H_0 hipotezi geçersizdir, yani farklar ortalaması sıfırdan farklıdır.

İki ayrı örnekleme sikliği için testin uygulanması:

* Dayanak noktası sayısı: 155

$$\bar{v} = -0.082$$

$$s = \pm 0.375$$

$$s_v = \frac{0.375}{\sqrt{459}} = 0.018$$

$$T = \frac{0.082 - 0}{0.018} = 4.56$$

$$f = 459 - 1 = 458$$

$$\alpha = 0.05, 1 - \frac{\alpha}{2} = 0.975$$

$$q_{458, 0.975} = q_{\infty, 0.975} = 1.96$$

$T > q$ olduğundan farklar ortalaması "sıfır" kabul edilemez. Dolayısıyla her iki örnekleme sikliği için de multikuadrik yüzey, gerçek yüzeyden daha alçak bir yüzey temsil etmektedir.

5.3.2. Şev Bölgesi

Ek - 1 de görülen bölgede yapılan uygulamalar sonucunda,

* I. Bölgenin 155 noktalı durumuna karşılık

$$\bar{v} = -0,165 \text{ m}$$

$$s = \pm 0.719 \text{ m}$$

* I. Bölgenin 194 noktalı durumuna karşılık

$$\bar{v} = - 0.075 \text{ m}$$

$$s = \pm 0.351 \text{ m}$$

Değerleri elde edilmiştir Sonuçta bu bölgeye ait farkların I. bölgede elde edilen \bar{v} ve s değerleri üzerinde olumsuz bir katkısı olduğu anlaşılmıştır.

5.3.3. II. Bölge

1. nokta sıklığı :

Dayanak noktası sayısı : 116

Test noktası sayısı : 340

ortalama en yakın komşu nokta uzaklığı : 14.18 m

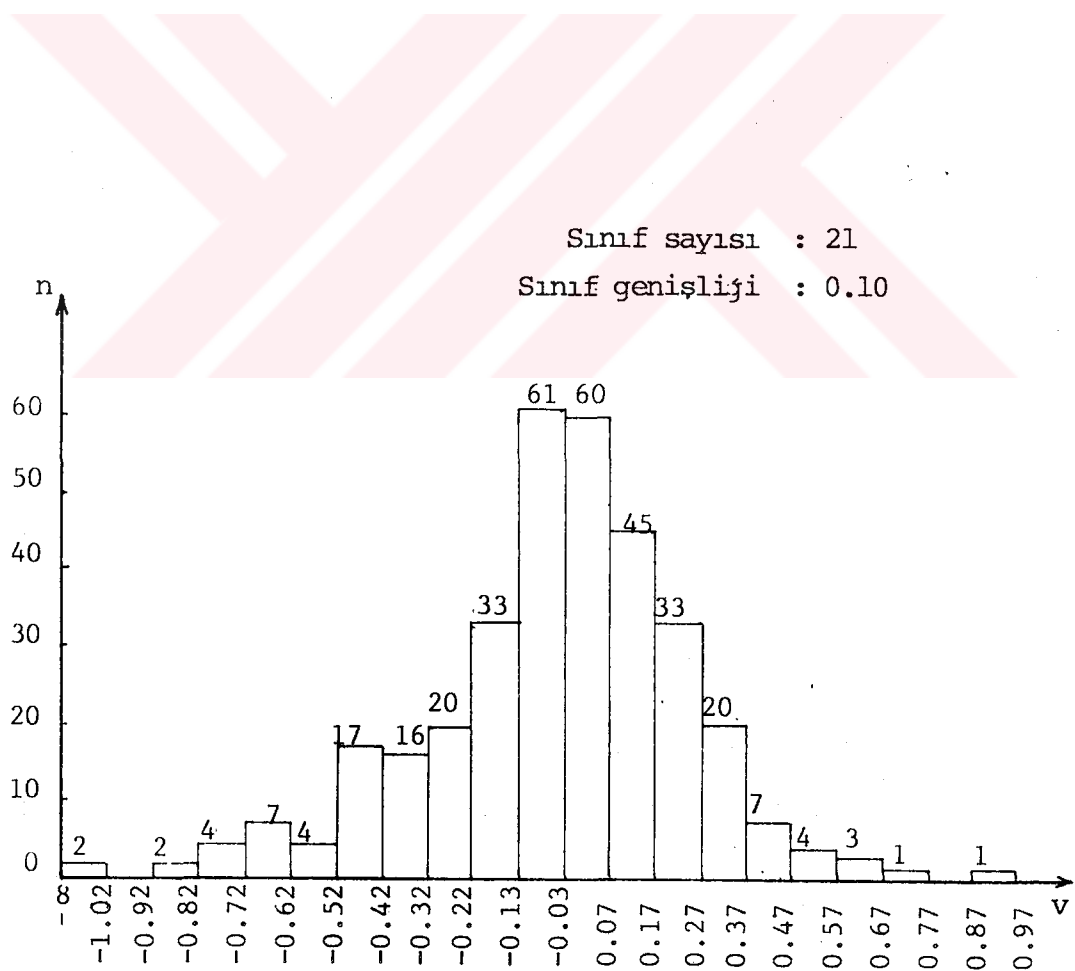
trend derecesi : 1 için $\bar{v} = -0.044$ m

$$s = \pm 0.284 \text{ m}$$

trend derecesi : 2 için, $\bar{v} = -0.028$ m

$$s = \pm 0.288 \text{ m}$$

* Farklar normal dağılımda değil.



Şekil - 5. 5 116 Nokta için farkların histogramı

2. Nokta Sıklığı :

dayanak noktası sayısı : 129

test noktası sayısı : 340

Ortalama en yakın komşu nokta uzaklığı: 13.58 m

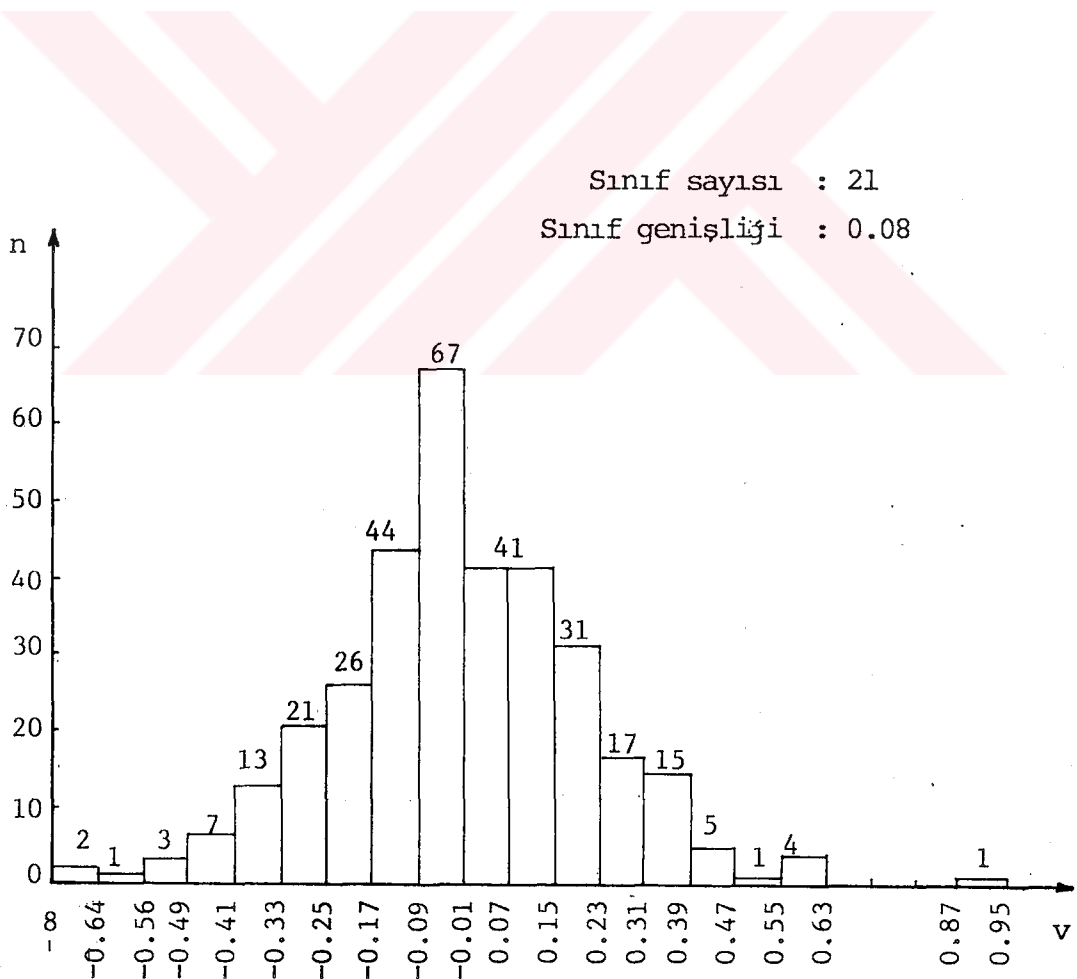
trend derecesi: 1 için $\bar{v} = -0.012$ m

$$s = \pm 0.22 \text{ m}$$

trend derecesi: 2 için, $\bar{v} = -0.009$ m

$$s = \pm 0.221 \text{ m}$$

* Farklar normal dağılımda; ancak dağılım sivrilik gösteriyor.



Şekil - 5. 6 129 Nokta için farkların dağılımı

3. Nokta sıkılığı:

dayanak noktası sayısı: 138

test noktası sayısı : 340

ortalama en yakın komşu nokta uzaklığı: 13.31 m

trend derecesi: 1 için, $\bar{v} = -0.014$ m

$$s = \pm 0.201 \text{ m}$$

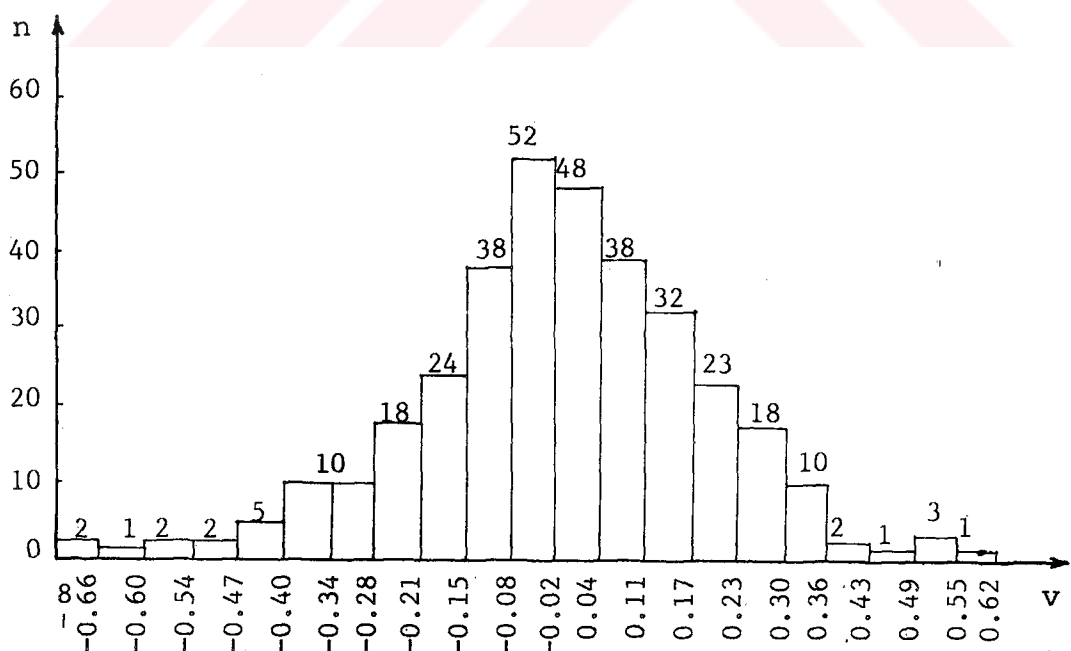
trend derecesi: 2 için, $\bar{v} = -0.011$ m

$$s = \pm 0.202 \text{ m}$$

* Farklar normal dağılımda; ancak dağılım sivrilik gösteriyor

Sınıf sayısı : 21

Sınıf genişliği : 0.06



Şekil - 5.7 138 Nokta için farkların dağılımı

4. Nokta sıklığı :

Dayanak noktası sayısı: 142

test noktası sayısı : 340

ortalama en yakın komşu nokta uzaklığı: 13.10 m

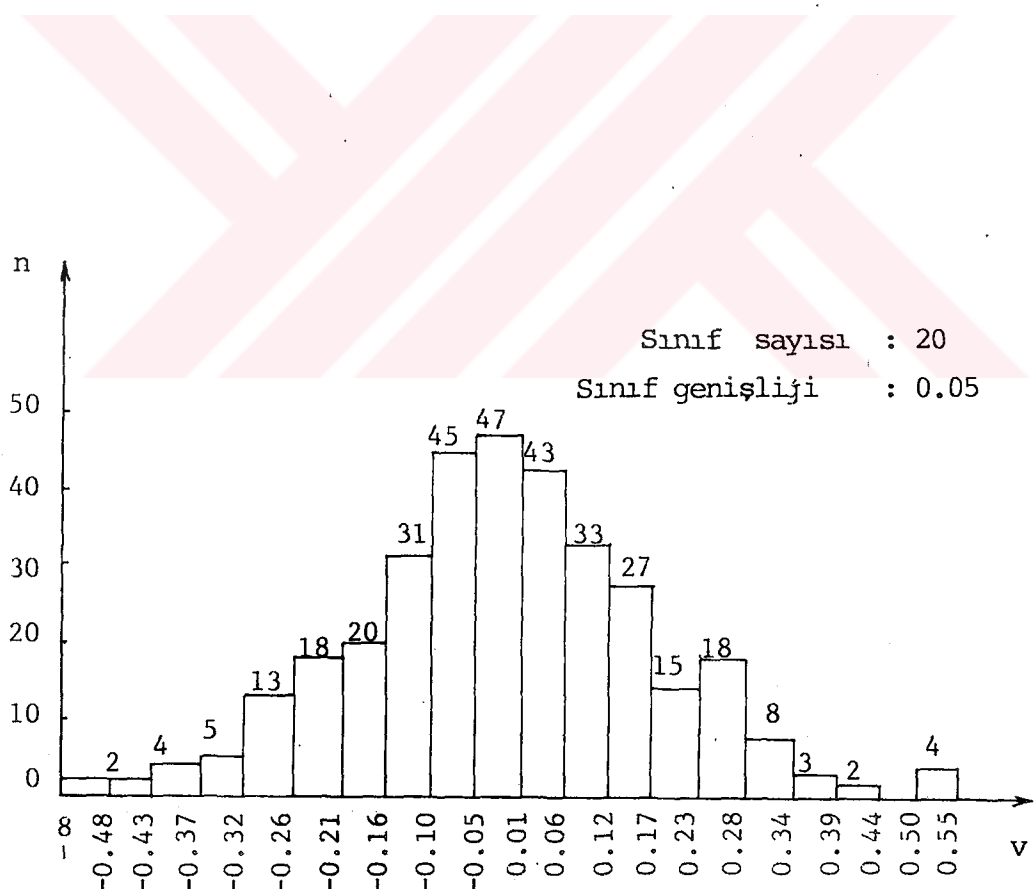
trend derecesi: 1 için, $\bar{v} = -0.007$ m

$$s = \pm 0.182 \text{ m}$$

trend derecesi: 2 için, $\bar{v} = -0.004$ m

$$s = \pm 0.182 \text{ m}$$

* Farklar her iki durumda da normal dağılımda. Çarpıklık ve basıklık yok.



Şekil - 5. 8 142 Nokta için farkların dağılımı

II. Bölgede bazı testler

* Üç ayrı örnekleme sıklığı için duyarlığın eşdeğerlik testi(Bar tlett testi):

Burada üç standart sapmanın eşdeğerlilik testi söz konusudur. Bu test aşağıdaki gibi uygulanır:

m = denetlenecek standart sapma adedi

$s_1, s_2 \dots s_m$: standart sapmalar

$f_1, f_2 \dots f_m$: serbestlik dereceleri

$$f_o = [f] = f_1 + f_2 + \dots + f_m$$

$$s_o^2 = \frac{1}{f_o} (f_1 s_1^2 + f_2 s_2^2 + \dots + f_m s_m^2)$$

$$c = 1 + \frac{1}{3(m-1)} \left\{ \left| \frac{1}{f} \right| - \frac{1}{f_o} \right\}$$

$$B = \frac{1}{C} \{ f_o \cdot \ln(s_o^2) - [f \cdot \ln(s_i^2)] \} \quad \text{test büyüklüğü}$$

$$q = \chi_{m-1}^2, 1-\alpha : \text{sınır değer; } \chi^2 \text{ dağılım tablolarından alınır.}$$

$$H_0 : \sigma_1 = \sigma_2 = \dots = \sigma_m = \sigma_o \quad \} \text{ hipotezler}$$

$$H_s : \sigma_k \neq \sigma_o \quad (\text{en az bir } k \text{ için})$$

$B \leq q$ ise H_0 hipotezi geçersiz sayılamaz; karşılaştırılan standart sapmalar eşdeğerdir. $B > q$ ise H_0 hipotezi geçersiz, H_s hipotezi geçerlidir. Karşılaştırılan standart sapmalar eşdeğer değildir.

test noktası sayısı: 340

$m = 3$

129 nokta için $s_1 = \pm 0.220$, $f_1 = 339$
138 nokta için $s_2 = \pm 0.201$, $f_2 = 339$
142 nokta için $s_3 = \pm 0.182$, $f_3 = 339$

$$\begin{aligned}f_o &= 1017 \\s_o^2 &= 0.0406 \\C &= 1.001 \\B &= 12.11 \\q_{2,0.95} &= 5.991\end{aligned}$$

$B > q$ olduğundan üç farklı örnekleme sıklığı için bulunmuş olan standart sapmalar eşdeğer kabul edilemez. Yani her üç örnekleme sıklığı için elde edilen sonuçlar duyarlık yönünden farklıdır. Buradan dayanak noktası sayısının duyarlık üzerinde etkili olduğu, başka deyişle dayanak noktası sayısı arttıkça duyarlığın arttığı söylenebilir.

- Farklar ortalamasının "sıfır" olup olmadığını testi

116 nokta için

$$\bar{v} = -0.044 \text{ m}$$

$$s = \pm 0.284 \text{ m}$$

$$S_v = \frac{0.284}{\sqrt{340}} = 0.015$$

$$T = \frac{0.044-0}{0.015} = 2.93$$

$$q_{\infty, 0.975} = 1.96$$

$T > q$ olduğundan bu örnekleme yoğunluğunda farklar ortalaması sıfırdan farklıdır.

* 138 nokta için

$$\bar{v} = -0.014 \text{ m}$$

$$s = \pm 0.201 \text{ m}$$

$$S_v = \frac{0.201}{\sqrt{340}} = 0.011$$

$$T = \frac{0.014}{0.011} = 1.28$$

$$q_{\infty}, 0.975 = 1.96$$

$T < q$ olduğundan bu örnekleme sıkığı için farklar ortalaması sıfır kabul edilebilir.

* 142 nokta için:

$$\bar{v} = -0.007 \text{ m}$$

$$s = \pm 0.182 \text{ m}$$

$$S_v = \frac{0.182}{\sqrt{340}} = 0.01$$

$$T = \frac{0.007-0}{0.01} = 0.71 , q_{\infty}, 0.975 = 1.96$$

$T < q$ olduğundan farklar ortalaması sıfır kabul edilebilir.

Bu testlerden çıkan sonuç şudur:

Örneklemeye yoğunluğu arttıkça multikuadrik yüzeyin, gerçek yüzeyi temsil gücü artmaktadır. Başka deyişle, dayanak noktası sayısı arttıkça, multikuadrik yüzey gerçek yüzeye daha iyi uyum sağlamaktadır.

Ayrıca trend derecesinin 1 ve 2 olduğu durumlardaki standart sapmaların eşdeğerliği test edilebilir. Fakat standart sapmalar incelendiğinde aralarında pek fark olmadığı, hatta 142 nokta için 1 ve 2.derece terendeler için bulunan standart sapmaların birbirine eşit olduğu görülmektedir.

Bu durumda test yapmaya gerek yoktur. Bu durumda 1 ya da 2.

derece trend yüzeyi kullanmanın duyarlık üzerinde etkisi olmadığı söylenebilir. Bununla birlikte 129, 138 ve 142 nokta için farklar ortalamalarına bakıldığında, 2. derece trendler için bulunan değerlerin sıfıra daha yakın değerler oldukları görülmektedir. Fakat her durumda multikuadrik yüzey, gerçek yüzeyden daha alçak bir yüzeyi temsil etmektedir.

5.3.4. III. BÖLGE

1. Nokta Sıklığı :

Dayanak noktası sayısı : 77

test noktası sayısı : 235

ortalama en yakın komşu nokta uzaklığı: 14.80 m

trend dereecesi: 1 için, $\bar{v} = -0.015$ m

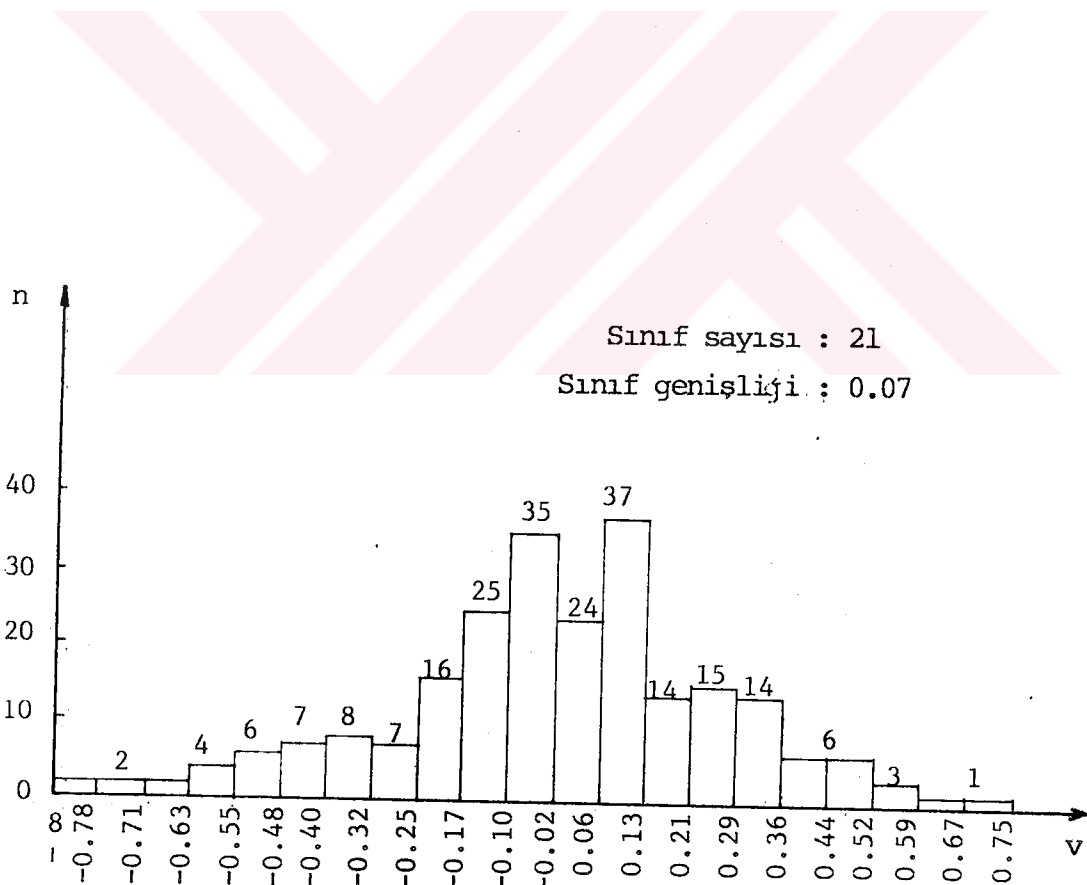
$$s = \pm 0.277 \text{ m}$$

trend derecesi: 2 için, $\bar{v} = 0.057$ m

$$s = \pm 0.263 \text{ m}$$

Her iki durumda da farklar normal dağılımda.

Çarpıklık ve basıklık yok.



Şekil - 5.9 77 Nokta için farkların dağılımı

2. Nokta sıklığı

Dayanak noktası sayısı: 96

test noktası sayısı : 235

ortalama en yakın komşu nokta uzaklığı: 12.87 m

trend derecesi: 1 için, $\bar{v} = +0.014$ m

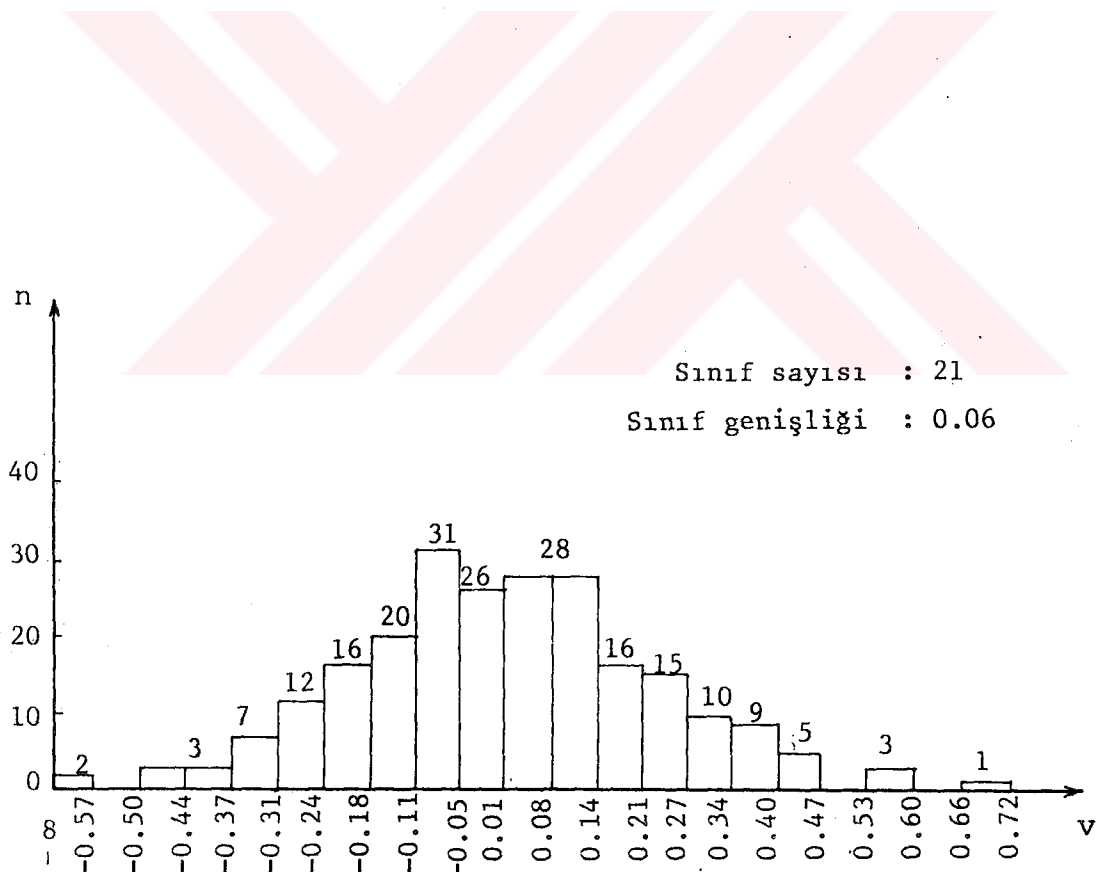
$$s = \pm 0.22 \text{ m}$$

trend derecesi: 2 için, $\bar{v} = +0.049$ m

$$s = \pm 0.223 \text{ m}$$

* Farklar normal dağılımda.

Çarpıklık ve basıklık yok.



Şekil - 5.10 96 Nokta için farkların dağılımı

Bu örnekleme sıklığı I. bölgedeki 194 noktalı duruma karşılık gelmektedir. İki durum arasında bir duyarlık araştırması yapılabilir.

Trend derecesi: 1 iken

$$\text{I. bölge, } 194 \text{ nokta} \longrightarrow s_1 = \pm 0.24 \text{ m}$$

$$\text{III. bölge, } 96 \text{ nokta} \longrightarrow s_2 = \pm 0.22 \text{ m}$$

$$V = \frac{s_1^2}{s_2^2} = 1.19$$

$$q = F_{f_1, f_2, 1 - \frac{\alpha}{2}} = F_{458, 234, 0.975} = 1$$

$V > q$ olduğundan iki durumda elde edilen sonuçlar duyarlık yönünden farklıdır. Dolayısıyla III. bölgede elde edilen sonuçlar daha duyarlıdır.

* Bu örnekleme sıklığında farkların sıfır eşdeğer olup olmadığıının testi.

trend derecesi : 1

$$\bar{v} = 0.014$$

$$s = 0.22$$

$$n = 235$$

$$s_v = \frac{0.22}{\sqrt{235}} = 0.014$$

$$V = \frac{0.014 - 0}{0.014} = 1$$

$$q_\infty, 0.975 = 1.96$$

$V < q$ olduğundan farklar ortalaması sıfır kabul edilebilir. Oysa I. bölge 194 nokta için farklar ortalamasının sıfır kabul edilemeyeceği görülmüştü.

3. nokta sıklığı

Dayanak noktası sayısı : 102

test noktası sayısı : 235

Ortalama en yakın komşu nokta uzaklığı: 12.63 m

trend derecesi: 1 için, $\bar{v} = -0.009$

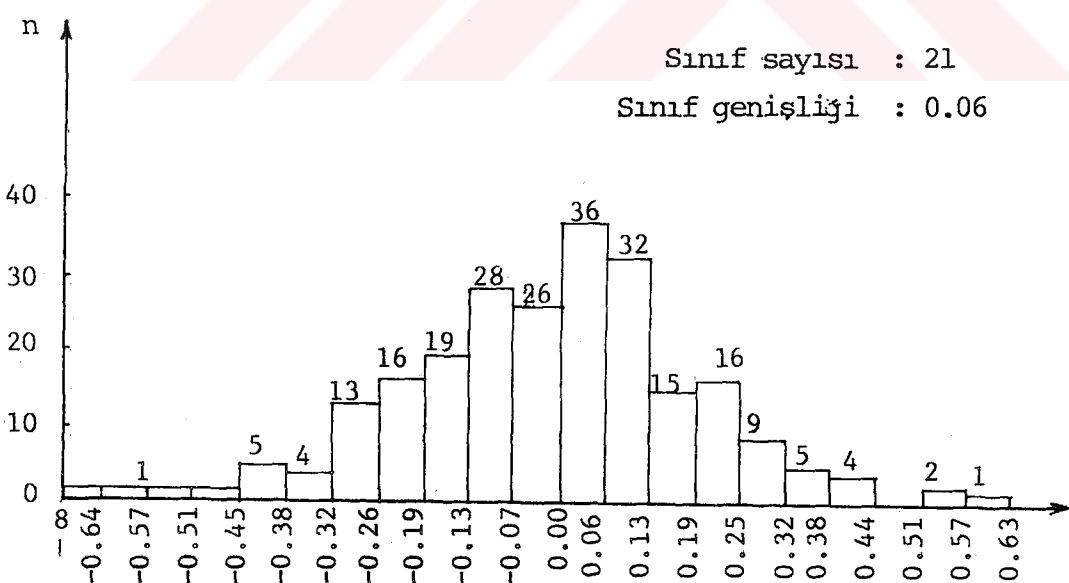
$$s = \pm 0.202$$

trend derecesi: 2 için, $\bar{v} = 0.024$

$$s = \pm 0.207$$

*Farklar normal dağılımda.

Çarpıklık ve basıklık yok.



Şekil - 5.11 102 Nokta için farkların dağılımı

III. Bölgede Farklar ortalamasının testi

77 dayanak noktası için:

$$\bar{v} = -0.015$$

$$s = \pm 0.277$$

$$s_v = \frac{0.277}{\sqrt{235}} = 0.018$$

$$T = \frac{0.015-0}{0.018} = 0.83$$

$$f = 235-1 = 234, \alpha = 0.05 \rightarrow 1 - \frac{\alpha}{2} = 0.975$$

$$q_f, 1 - \frac{\alpha}{2} = q_{\infty}, 0.975 = 1.96$$

$T < q$ olduğundan farklar ortalaması sıfır kabul edilebilir.

* 102 dayanak noktası için:

$$\bar{v} = -0.009$$

$$s = \pm 0.202$$

$$s_v = 0.013$$

$$T = 0.009/0.013 = 0.68$$

$$q_{\infty}, 0.975 = 1.96$$

$T < q$ olduğundan bu örnekleme sıklığı için de farklar ortalaması sıfır kabul edilebilir.

5.4. Multikuadrik Enterpolasyonla Bulunmuş Olan Yüksekliklere
Göre Eşyükseklik egrilerinin Çizimi

Deneysel çalışmaların bu son safhasında, uygulama bölgesi şev sı - nırlarına göre dört alt bölgeye ayırilarak her bir alt bölgede ayrı bir multikuadrik enterpolasyon uygulanmış, bulunan grid köşe yüksekliklerine göre, doğrusal enterpolasyonla uygulama alanının eşyükseklik egrileri astrolon bir altlığa çizilmiştir (ek - 2).

Elde edilen harita, daha önce dayanak noktalarına göre çizilmiş olan harita ile karşılaştırılmış ve her iki haritanın da temsil ettikleri topografik yapının eşdeğer olduğu görülmüştür.

6. SONUÇ VE ÖNERİLER

Bilgisayar destekli haritacılık çalışmaları için, gerekli donanım ve yazılımlar yanında, araziye ait bir veri tabanı ya da bilgi bankasıının oluşturulması kaçınılmazdır. Bu zorunluluk çok küçük sayılabilecek bir alanda yapılan bu çalışmada bile kendini hissettimiştir.

Beşinci bölümde geniş olarak gösterilmiş olan sayısal uygulamalarдан elde edilen sonuçlar aşağıdaki gibi özetlenebilir :

- Farklı nokta sıklıkları için elde edilen sonuçlar duyarlıkça birbirinden farklıdır. Nokta sıklığı arttıkça, multikuadrik yüzey topografik yüzeye daha iyi uyum sağlamaktadır. Bununla birlikte multikuadrik yüzey ortalama olarak, çoğunlukla, topografik yüzeyden daha alçak bir yüzeyi temsil etmektedir.

- Şevlerin bulunduğu alanlarda, şev sınırları itibariyle oluşturulan alt bölgelere parça parça interpolasyon uygulamak suretiyle elde edilen sonuçların, tüm bölge için tek bir interpolasyon uygulayarak bulunan sonuçlardan daha duyarlı olduğu görülmüştür.

- Trend derecesinin duyarlık üzerinde etkisi olmamaktadır. Başka bir ifadeyle, farklı trend dereceleri kullanılarak elde edilen sonuçlar duyarlıkça esdeğerdır.

- Deneysel çalışmalarında en iyi sonuç $v : -0.004 \text{ m}$, $s : 0.182 \text{ m}$ olarak, 13.10 m lik ortalama en yakın komşu nokta uzaklığına karşılık elde edilmiştir.

- Yöntemin algoritması gereği ters matris hesabı yapıldığından, dayanak noktası sayısı arttıkça hesaplama zamanı da katlanarak artmaktadır.

Sonuç olarak, bu çalışmada uygulanan şekliyle - rasgele ve aynı zamanda arazinin morfolojik çizgi ve noktalarında seçilecek dayanak noktaları kullanılarak - ve deneysel çalışmalar sonucu verilmiş olan değişik nokta sıklıklarına karşılık gelen duyarlıklar çerçevesinde, sayısal yükseklik modeli için, multikuadrik interpolasyon yönteminin rahatlıkla kullanılabilirliğini söylemek mümkündür. Ancak burada şöyle bir öneride

bulunmak yerinde olacaktır :

Sayısal yükseklik modeline konu olan arazide alt ve üst kısımları arasında oldukça büyük yükseklik farklarının bulunduğu şevel mevcut ise, arazinin tümü için tek bir interpolasyon uygulamak yerine, şevel sınırları itibariyle oluşturulacak alt bölgelerin herbiri için ayrı bir interpolasyon uygulamak, duyarlık açısından daha uygun olacaktır. Burada tek sorun, hangi alt bölgede hangi dayanak noktalarının interpolasyona gireceğinin belirlenmesidir. Bunun için, alt bölgelerin önceden belirlenerek her bir bölgeye ait ayrı bir veri grubunun oluşturulması gereklidir. Böylelikle hangi bölgede çalışılıyorsa, sadece o bölgeye ait dayanak noktalarının interpolasyonda kullanılması sağlanmış olacaktır.

KAYNAKLAR

- Aksoy, A. (1974). Matematik istatistik yöntemlerle jeodezik ölçülerin irdelenmesi, İ.T.Ü. yayını, İstanbul, 74 s.
- Aydemir, S. (1982). Sayısal arazi modelleri ve enterpolasyon yönteminin doğruluğu, Yüksek Lisans Tezi, K.T.Ü., Trabzon, 215 s.
- Güler, A. (1978). Sayısal arazi modellerinde enterpolasyon yöntemleri, Harita Dergisi, no.85, s.53-69.
- Güler, A. (1983). Sayısal arazi modelinde iki enterpolasyon yöntemi ile denemeler, K.U. Araştırma ve inceleme yayınları dizisi no.22 Trabzon, 22 s.
- Güler, A. (1986). Sayısal arazi modelleri, Yüksek Lisans Ders Notları (yayınlanmadı), K.T.Ü., Trabzon.
- Hardy, R. (1971). Multiquadric equations of topography and other irregular surfaces, Journal of Geophysical Research, no.8, s.1905-1915
- Hardy, R. (1974). Research results in the application of multiquadric equations to surveying and mapping problems, XIV th Congress International Federation of Surveyors (FIG), September 7-16, Washington, s.1-13.
- Koçak, E. (1985). Bilgisayar destekli kartoğrafya, Yüksek Lisans Ders Notları, (yayınlanmadı), K.T.Ü., Trabzon.
- Koyuncu, D. (1981). Sayısal arazi modelleri, Harita Dergisi, no.87, s.51-61.
- Makarovic, B. (1976). Digital terrain model system, ITC Journal 1976/1 Enschede, s.57-83.
- Öztürk, E. (1986). Test yöntemleri (yayınlanmadı), Tapu ve Kadastro Genel Müdürlüğü eğitim semineri, Ankara.
- Schut, G.H. (1986). Review of interpolation methods for digital terrain models, The Canadian Surveyor, no.5, s.390-412.
- Stefanowic, P., Radwan, M.M., Trempfli, K. (1977). Digital terrain models, data acquisition and applications, ITC Journal, 1977/1 Enschede, s.61-76.

EKLER

Ek - 1 :

- I. Bölge (Uygulama bölgesinin ilk durumu)
- Sev Bölgesi
- II. Bölge
- III. Bölge

Ek - 2 :

- Çizime esas olacak değerler için, multikuadrik interpolasyonun uygulandığı alt bölgeler
- Interpolasyonla elde edilen değerlere göre çizilmiş olan eşyıkseklik eğrileri

Ek - 3 :

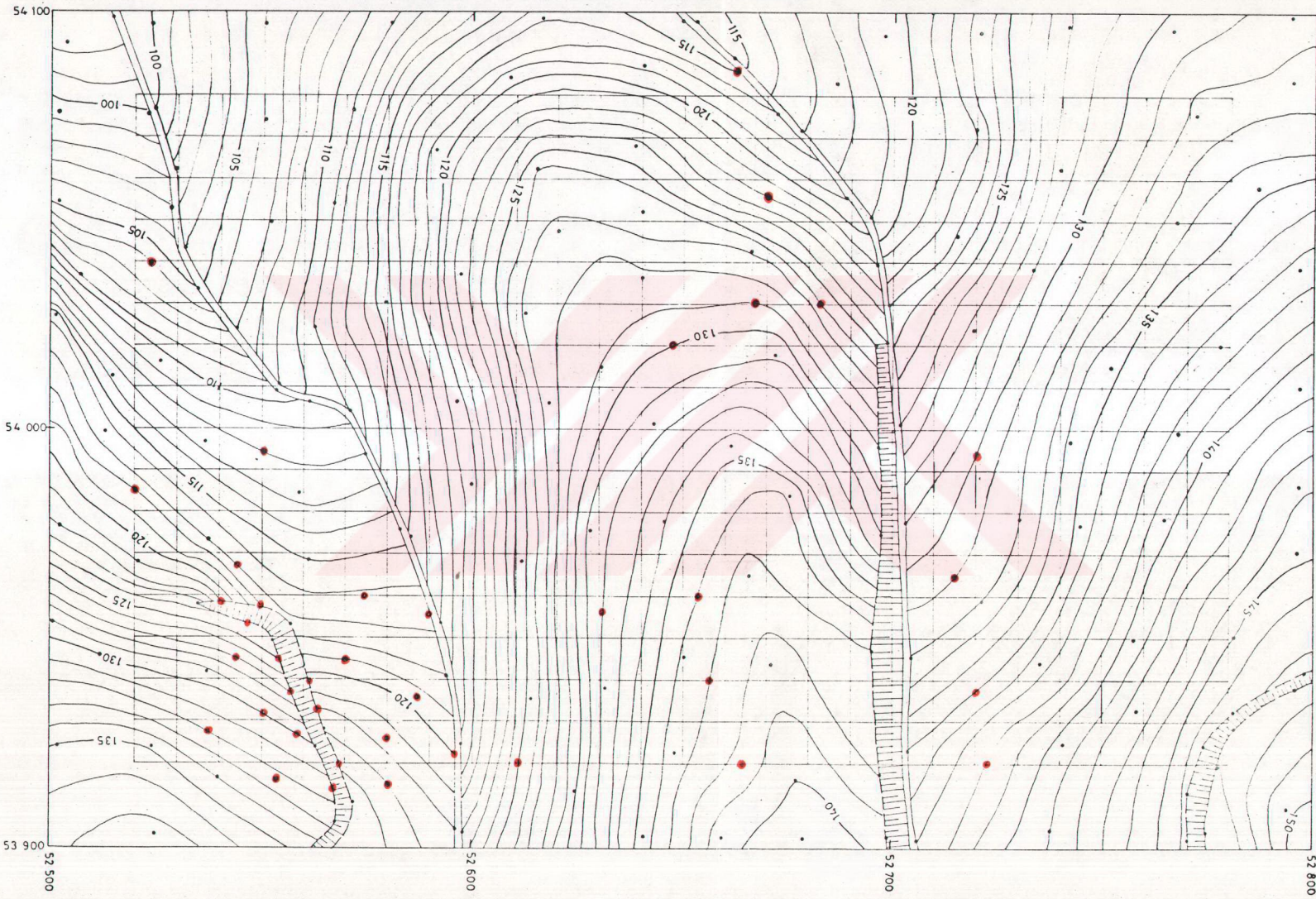
- Fortran - 77 dilinde yazılmış multikuadrik interpolasyon programı

Ek - 4 :

- Uygulama bölgesine ait dayanak noktası koordinatları

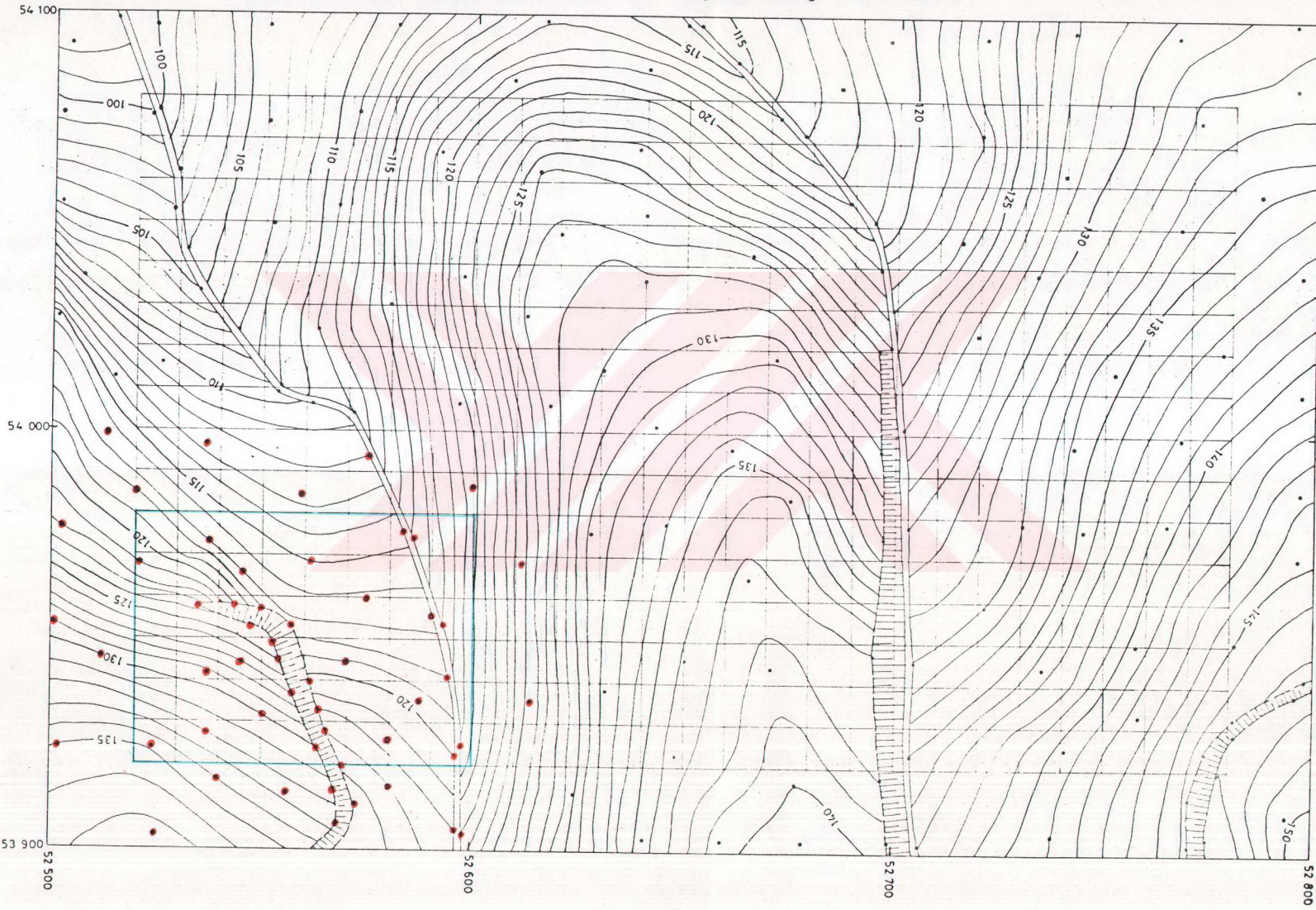
I. BÖLGE

194 nokta : Turuncu renkli noktalar sıklaştırma amacıyla atılmıştır.

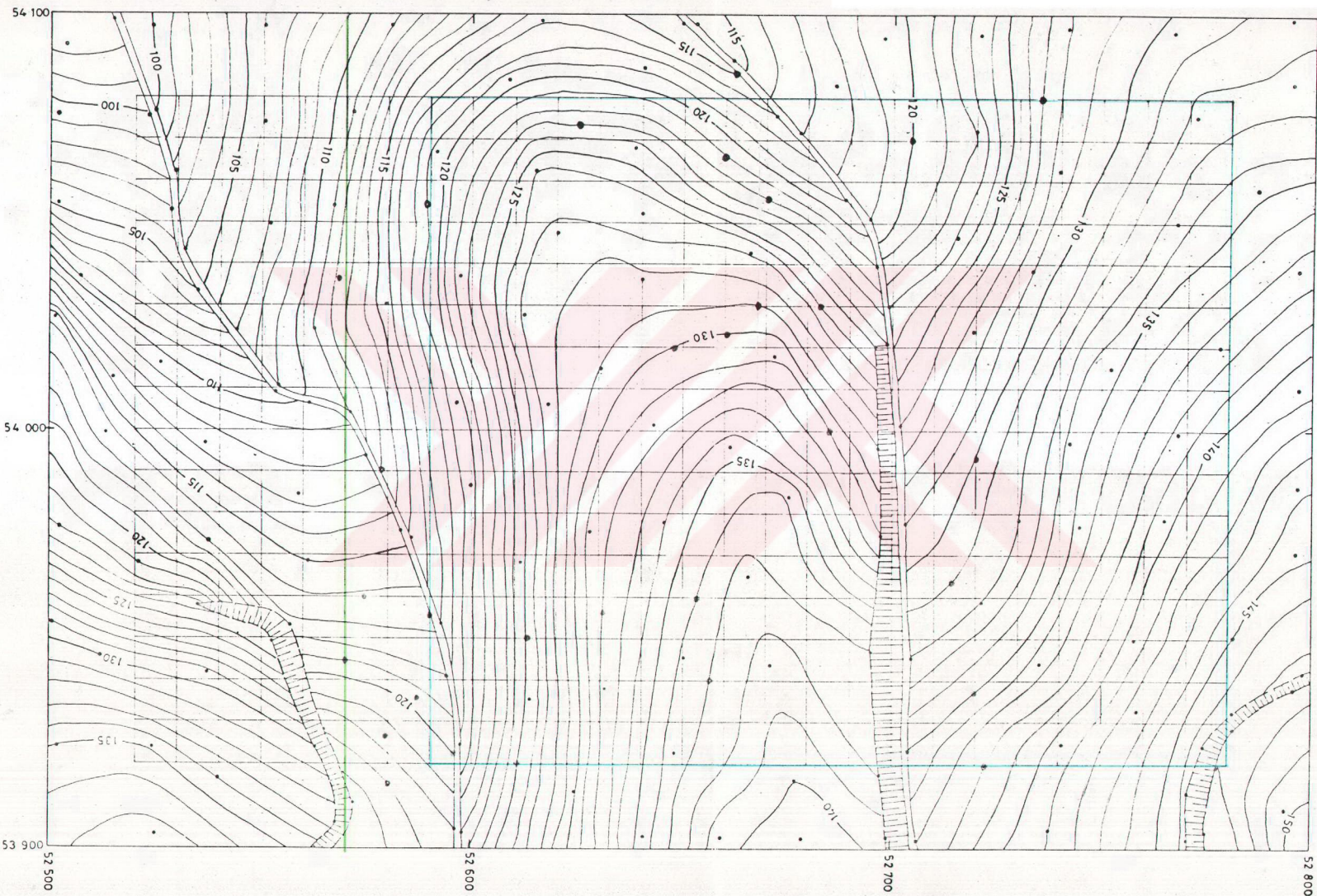


ŞEV BÖLGESİ

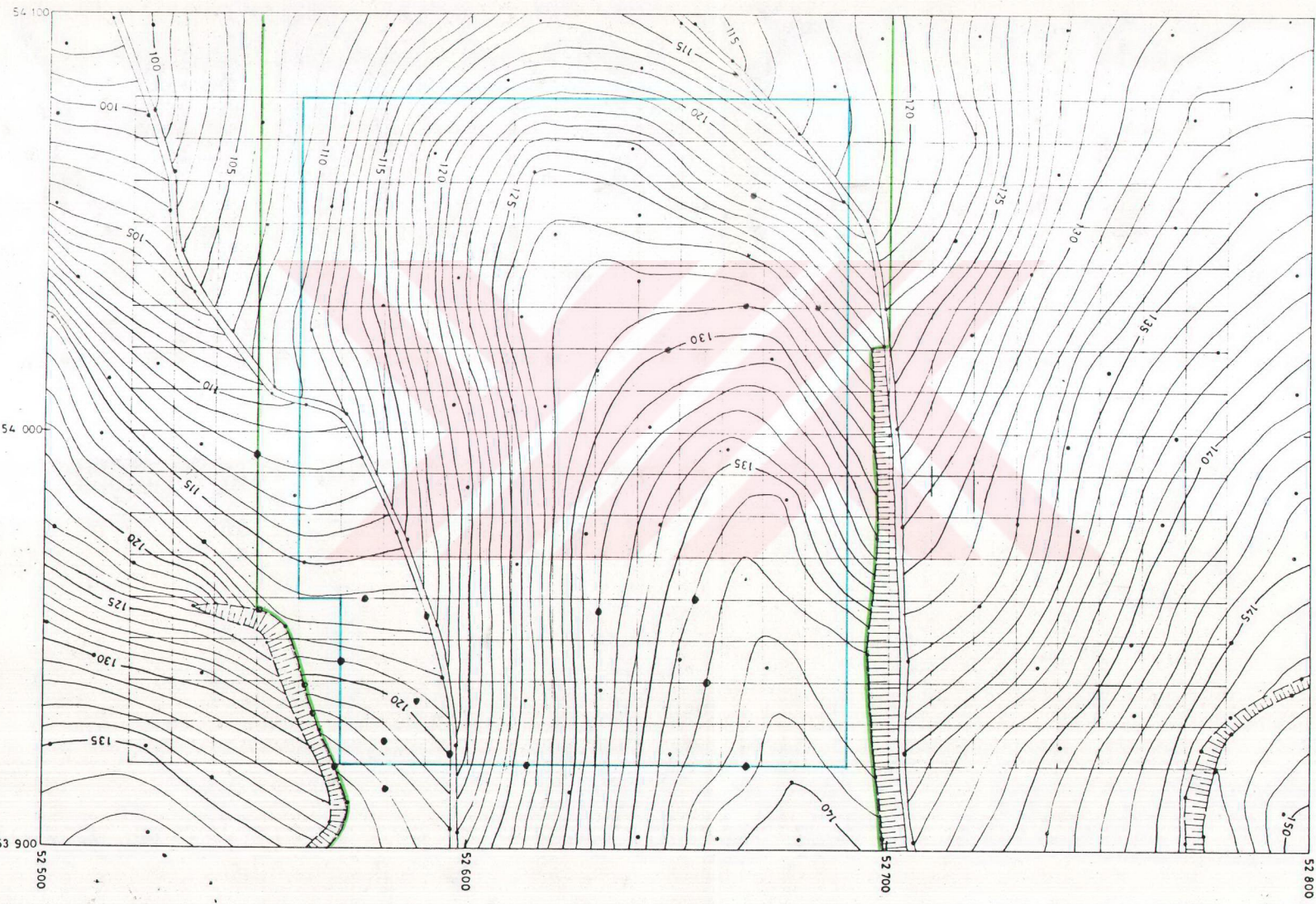
Bu alanda kullanılan dayanak noktaları (turuncu) Bölgenin test ağı sınırı (mavi)

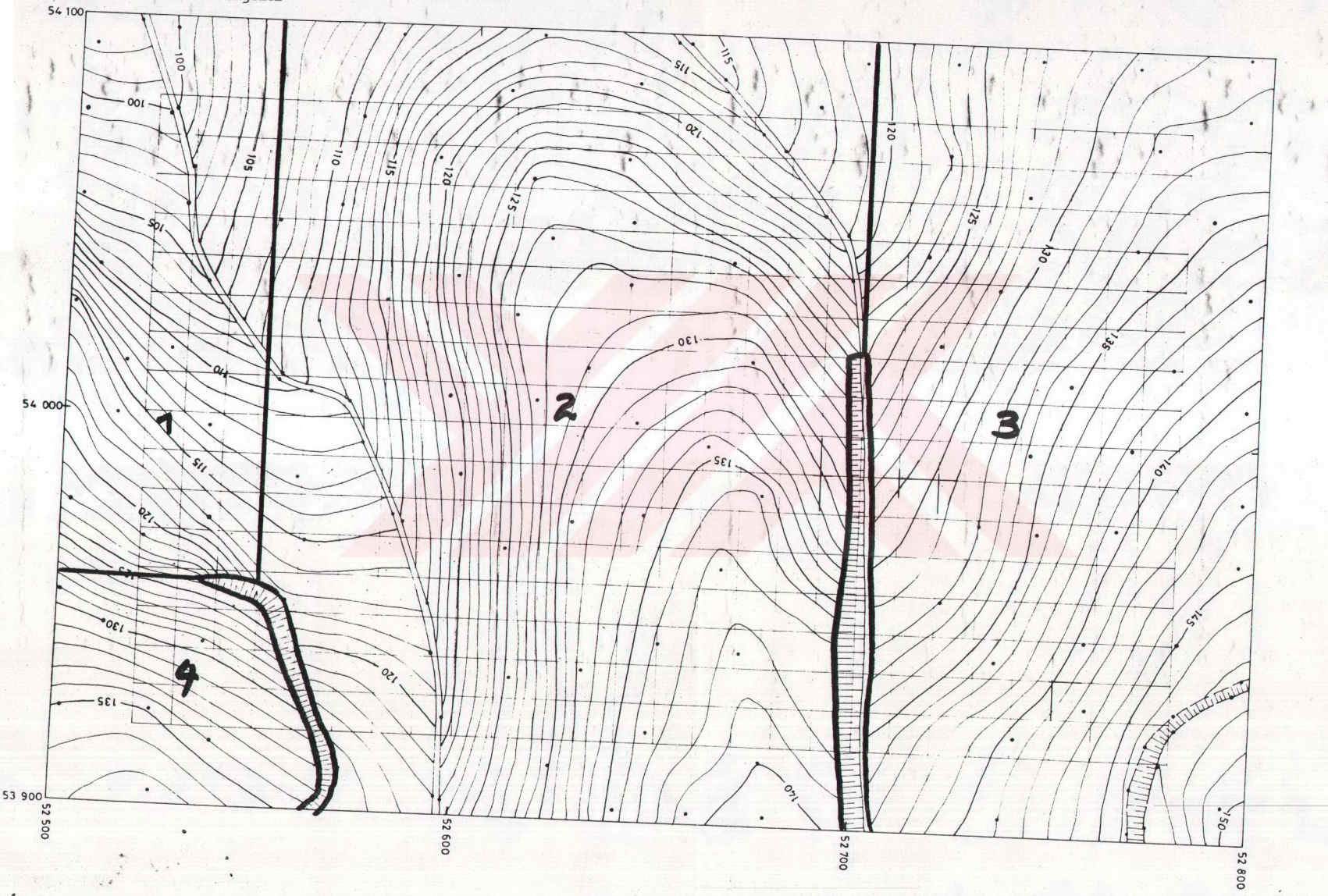


II. BÖLGE : Yeşil çizginin sağ tarafında kalan alan Test ağı sınırı (mavi)

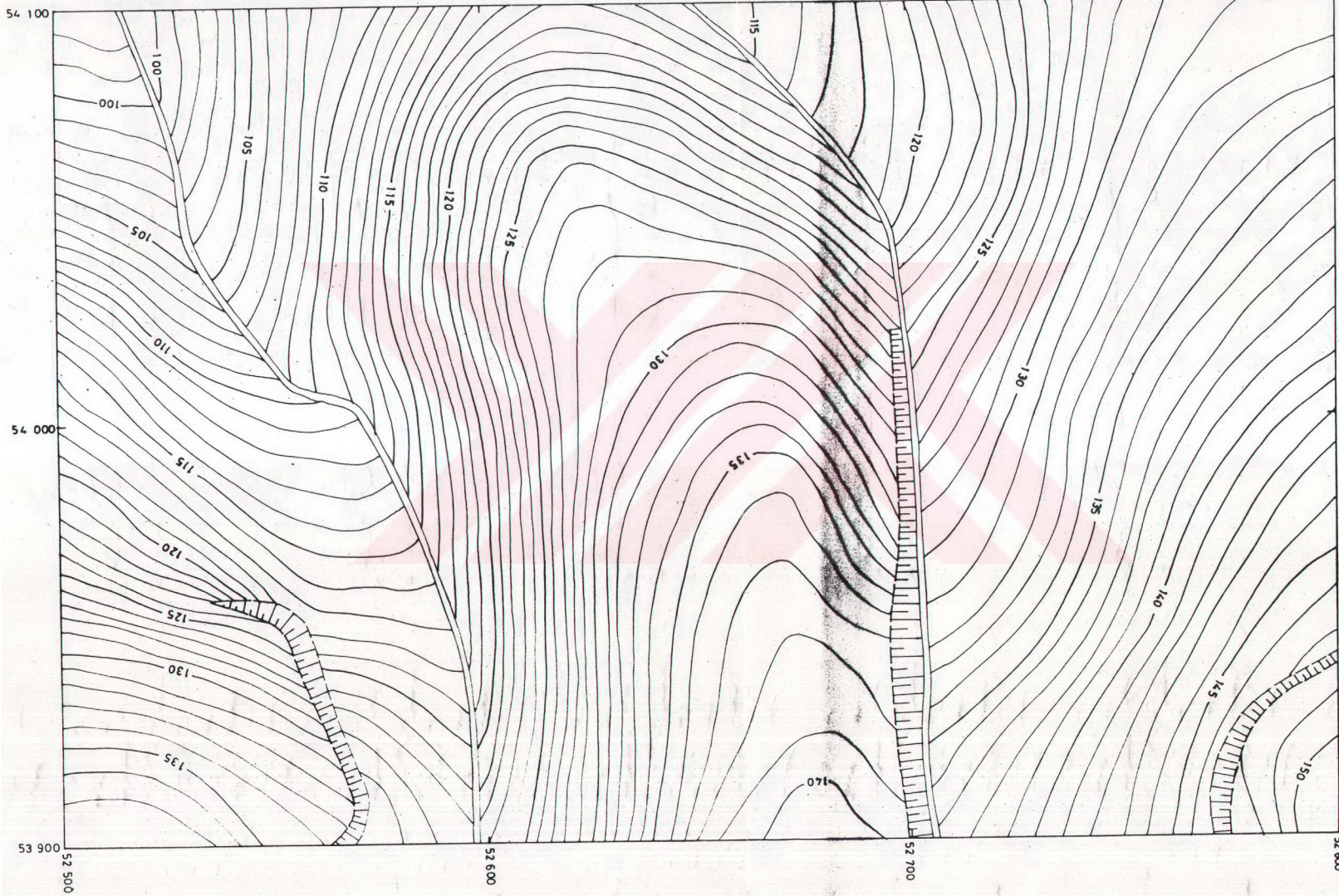


III. BÖLGE Bölge sınırları (yeşil) Test ağı sınırları (mavi)





Multikuadrik enterpolasyon sonuçlarına göre çizilmiş olan eşyükseklik eğrileri



EK - 3

***** ***** ***** ***** ***** ***** ***** ***** ***** ***** ***** *****
* MULTIKUADRİK ENTERPOLASYON
*
* YÖNTEMT
*
* I : DAYANAK NOKTALARININ SAYISI
*
* II : KOORDINATI HESAPLANACAK NOKTA SAYISI
*
* NM : A MATRISININ SÜTON SAYISI (TREND DEĞERESİ)
* 1 ISF 3, 2 ISF 6
*
* ID S : MANN_HALD TESTI İÇİN SINIF SAYISI
*
* NX : X EŞGENİ YÖNDEKİ GRID NOKTASI SAYISI
*
* NY : Y EŞGENİ YÖNDEKİ GRID NOKTASI SAYISI
*
***** ***** ***** ***** ***** ***** ***** ***** ***** ***** ***** *****

IMPLICIT REAL*8(A-H,O-Z)
PARAMETER(N=194,NX=17,NY=27,M=NX*NY,NM=6,MV=NM*(NM+1)/2,
IT=25,KM=IDS+2)

CHARACTER*5 VAR,VE,YOK,BIR,AN*6,DE*8,EA*12,CA*12,ANL*12,
EV*30,MW*50,DRMN*30,YDRUM*100,EN1*26,DF1*5,
VDRK 5*35

DIMENSION UN(N),X(N),Y(N),XN(N),YN(L),E(N),T(M),HHR(M),
V(M),NN0(M),GX(M),YY(M),XXN(M),YYN(M),JHH(M),
TT(M),A(N,NM),P(N),E(NM),DH(N),F(N,N),LT(N),
C(N),OT(N,N),ATPH(N),OTV(MV),FS(N,N),FM(N,N),
XT(KM),ZT(KM),NT(KM),NS(NX),NI(N),HD(N),P(KM),
Y1(M),SS(M),Z(KM),NJ(KM),KT(KM),IKS(KM),FZ(KM),
DD(KM)

DATA D,S,TD,Z SD,TBB/.04,37.653,2.24,5.991/

READ *,YO,YD,DO,NGU,MTD

READ *,(ZT(K),K=2,13)

DO 100 K=1,M

100 READ *,NN0(K),HHR(K)

DO 29 T=1,N

99 READ *,NN(T),X(I),Y(I),H(I)

DO 7 K=1,I

7 P(K)=1.

I=14

DO 9 K=14,IDS

I=I-1

9 ZT(K)=-ZT(I)

CALL KORDJ(NX,NY,M,NGU,YO,XD,XX,YY)

CALL NDRM(Y,X,YO,XD,DO,YN,XN,N)

CALL NDRM(YY,XX,YO,XD,DO,YYN,XXN,M)

IF(MTD.EQ.2) GO TO 2

NT=3

DO 12 K=1,N

A(K,1)=1.

A(K,2)=YN(K)

12 A(K,3)=XN(K)

GO TO 4

C 2 NT=6

DO 13 K=1,N

A(K,1)=1.

A(K,2)=YN(K)

A(K,3)=Y'(K)*YN(K)

A(K,4)=X'(K)

A(K,5)=Y''(K)*XN(K)

13 A(K,6)=XN(K)*XN(K)

4 TRENİD YÜZEYİ KATSAYILARI

NTV=NT*(NT+1)/2

```
CALL NORMAL(A,N,NT,P,H,D,NTV,CT,OTV,ATPH)
C..... TREND YÜZEYİNDEN FARKLAR .....
C..... DO 16 K=1,N
      HK=0.
      DO 17 J=1,NT
        HK=HK+A(K,J)*B(J)
      16 DH(K)=HK-HK
C..... C KATSAYILARI .....
      DO 22 K=1,N-1
        K1=K+1
        F(K,K)=0.
        DO 22 J=K1,N
          FF=DSORT((YN(J)-YN(K))**2+(XN(J)-XN(K))**2)
          F(K,J)=FF
          F(J,K)=FF
        CONTINUE
        F(N,N)=0.
        ORTEN=0.
        ORTEN=0.
        LL=]
        KK=1
        DO 23 K=1,N
          EK=500.
          DO 24 L=1,N
            IF(L.EQ.K) GO TO 24
            IF(F(K,L).GE.EK) GO TO 24
            IF(KK.FD.L.AND.LL.EQ.K) GO TO 24
            FK=F(K,L)
            KK=K
            LL=L
        24 CONTINUE
      23 ORTEN=ORTEN+F(K)
      ORTEN=DO MORTEN/N
C..... CALL DMINV(F,N,D,L1,M1)
      DO 26 K=1,N
        C(K)=0.
      DO 25 J=1,N
        C(K)=C(K)+F(K,J)*DH(J)
      26 CONTINUE
C..... GRID YÜZEKLİKLERİNİN HESABI .....
      IF(MTD.EQ.1) GO TO 8
C..... TREND DERECESI =2 İÇİN GRID YÜZEKLİKLERİ .....
      DO 42 I=1,N
        H2=0.
        DO 41 J=1,N
          H1=DSORT((YN(J)-YYN(I))**2+(XN(J)-XXN(I))**2)
          41 H2=H2+C(J)**H1
          TT(I)=B(2)*YYN(I)+B(3)*YYN(I)*YYN(I)+B(4)*XXN(I)+B(5)*XXN(I)*YYN(I)+B(6)*XXN(I)*XXN(I)
        42 HH(I)=H2+TT(I)
        GO TO 333
C..... TREND DERECESI =1 İÇİN GRID YÜZEKLİKLERİ .....
      8 DO 40 I=1,N
        H2=0.
        DO 45 J=1,N
          H1=DSORT((YN(J)-YYN(I))**2+(XN(J)-XXN(I))**2)
        45 H2=H2+C(J)**H1
          TT(I)=B(1)+B(2)*YYN(I)+B(3)*XXN(I)
        40 HH(I)=H2+TT(I)
C..... TESTLER .....
      333 DO 444 K=1,M
        V(K)=HH(K)-HHB(K)
        V1(K)=V(K)
      444 CONTINUE
C..... CALL MWCBT(IDS,M,KM,V,ZT,XT,UD,STS,THES,TD,YORMW,YORUM,ZTD,
      *           Z1,Z2,ZSD,TB8,DS,N1,PP)
      * CALL KST(M,V1,SS,NJ,IDS,SG,YORKS,Z,KT,HKS,FZ,D,DD,
      *           UD,STS,MM,CM)
C..... SONUCLAR .....
      PRINT 777,N,M
    777 FORMAT(//T10,"DAYANAK NOCTA ARININ SAYISI :",T38,15//T10,
      * "GRID MORTEN SAYISI :,T38,15)
```

```
79 PRINT 70, ORTEN, MTD
    * FORMAT(//T10, "ORTALAMA EN YAKIN KOMSU NOKTA UZAKLIĞI :",
      F10.2//T10, "TREND DERESİ : ", '14//')
83 PRINT 83,
    * FORMAT(T10, "** HERBIR GRID NOKTASINDA OLUSAN FARKLAR **",
      /T5, 80(' _'))
C .....
     PRINT 911,
     PRINT 912, (K, K=1, NY)
     PRINT 914,
       K1=-((NY-1)
       K1P=-K1
       DO 930 J=1, NX
       K1=K1+NY
       K2=K1+K1P
     PRINT 934, J
     PRINT 935, (V(K), K=K1, K2)
     PRINT 936,
930 CONTINUE
911 FORMAT(/T5, "SÜTUN : ", //)
912 FORMAT((T12, 9(3X, I2, 3X))/)
914 FORMAT(/T5, "SATIR : //")
934 FORMAT(T8, 12)
935 FORMAT((T12, 9(F9, 2)/))
936 FORMAT(/T5, 80(' _'))
     PRINT 933,
988 FORMAT(//T10, "HERBIR GRID NOKTASININ YÜKSEKLİKLERİ : //T10,
  * '(SÜTUN NUMARASININ BU UNDUGU SATIRDAKİ DEĞERLER PILİNEŃ'
  * ' T10, 'ALT TAKILER İSE HESAPLANAN YÜKSEKLİKLERİDİR')//')
     PRINT 990,
     PRINT 941, (K, K=1, NY)
     PRINT 944,
       K1=-((NY-1)
       K1P=-K1
       DO 993 J=1, NX
       K1=K1+NY
       K2=K1+K1P
     PRINT 950, J
     PRINT 997, (HH(K), K=K1, K2)
     PRINT 997, (HH(K), K=K1, K2)
     PRINT 955,
998 CONTINUE
990 FORMAT(/T5, "SÜTUN : ", //)
941 FORMAT((T12, 9(3X, I2, 3X))/)
994 FORMAT(/T5, "SATIR : //")
950 FORMAT(T8, T2)
997 FORMAT((T12, 9(F9, 2)/))
955 FORMAT(/T5, 80(' _'))
     PRINT 288, UD, STS
     PRINT 249, ZT0, Z1, Z2, TBB, ZSD
     PRINT 250, YORM
     PRINT 235, THESTD
     PRINT 236, YORMW
     PRINT 768,
288 FORMAT(//T12, "** TEST SONJCLARI **//T10, 60("*")//T12,
  * "ORTALAMA = ", F10.4//T12, "STANDARD SAPMA = ", F10.4//)
  * T10, 60("*")//)
235 FORMAT(//T10, "*** MANN_WALD TESTI SONUCU : //",
  * T10, "E SİAPLANAN DEĞERİ : ", F9.4//T10, "TABLO DEĞERİ : ", F6.2)
236 249 FORMAT(//T10, "**** CARPIKLIK VE BASIKLIK TESTLERİ SONUCU : //",
  * T10, "ZTD = ", F8.2, T35, "Z1 = ", F6.2, T50, "Z2 = ", F6.2//)
  * T10, "TABLO DEĞERLERİ : //T10, "Z İÇİN : ", FR.3, T35,
  * "Z1 VE Z2 İÇİN : ", F8.3//)
250 768 FORMAT(T10, "**** YORM : //T11, A100, //T10, 100(*'1')//")
  * FORMAT(T10, "*** FARKLARIN SINIFLARA GÖRE DAGILIMI ***//",
  * T10, " SINIF NO' : ", T20, " SINIF SINIRLARI : ", T40,
  * "PAZIL YIGILMALARI : //T10, 50(' _')//")
    DO 769 K=1, IDS
    PRINT 770, XT(K), K, NI(K)
    PRINT 772, IDS+1, XTIDS+1)
770 FORMAT(T22, F8.2//T12, I4, T43, I4)
772 FORMAT(/T12, I4, T22, F8.2//T10, 50(' _'))
```

```
1800 PRINT 1800
1800 FORMAT(///,T10,***** KOLMOGOROW - SİMİRNOW TESTİ :////)
1801 PRINT 1801,
1801 FORMAT(T10,'S.NO',T20,'S.SİN',T30,'YİGİLMA'//T8,45('*'))
1802 DO 1802 K=1,MM
1803 PRINT 1803,K,SS(K),NJ(K)
1805 FORMAT(///,T12,I4,T20,F8.2,T32,I4/)
1806 PRINT 1806,SG
1808 FORMAT(///,T12,'S İNİF GENİŞLİĞİ :',F8.2//T8,45('*'))
1809 PRINT 1810,YORKS
1810 FORMAT(///,T10,* **** YORUM ://T20,A35//TR,45('*'))
1811 DO 1111 K=1,M
1111 PRINT 1115,K,V(K)
1115 FORMAT(T5,I4,F10.2)
1116 STOP
1117 END
```

```
C***** ALT PROGRAMLAR *****  
SUBROUTINE NORMAL(A,M,N,P,DL,BX,NN,QT,QTV,ATPL)  
IMPLICIT REAL*8(A-H,J-Z)  
DIMENSION A(M,N), QT(N,N), ATP_(N), QTV(NN), BX(N), P(M), DL(M)  
DO 114 I=1,N  
DO 113 J=I,N  
SS=0  
112 DO 112 K=1,M  
SS=SS+A(K,I)*P(K)*A(K,J)  
QT(I,J)=SS  
113 CT(J,I)=SS  
114 CONTINUE  
DO 116 I=1,N  
FF=0.  
DO 115 J=1,M  
FF=FF+A(J,I)*P(J)*DL(J)  
ATPL(I)=FF  
L=0  
DO 118 I=1,N  
DO 118 J=I,N  
L=L+1  
QTV(L)=QT(I,J)  
118 CONTINUE  
CALL ST111D(QTV,N,1.0-6,IER)  
DO 122 K=1,N  
BL=0.  
DO 121 L=1,N  
IF(L.GE.K) GO TO 129  
KL=N*(L-1)+K-L*(L-1)/2  
GO TO 130  
129 KL=N*(K-1)+L-K*(K-1)/2  
130 BL=BL+QTV(KL)*ATPL(L)  
121 CONTINUE  
BX(K)=BL  
122 CONTINUE  
RETURN  
END
```

```
C***** SUBROUTINE MWCBT ((DS,N,M,V,ZT,XT,UD,STS,THE,S,TD,YDRM,W  
* YORUM,ZTD,Z1,Z2,ZSD,TBB,DS,NI,PP)  
* IMPLICIT REAL*8(A-H,O-Z)  
CHARACTER *5 VAR,VE,YOK,BIR,AN*8,DE*8,BA*12,CA*12,ANL*12,  
* FN*30,MW*60,YORMW*80,YORUM*100  
DIMENSION V(N),XT(M),ZT(M),VI(M)
```

```
C ***** ORTALAMA VE STANDART SAPMA *****  
RN=N  
UD=0.  
STS=0.  
N THE=S  
DO 10 K=1,N  
10 UD=UD+V(K)  
UD=UD/RN  
DO 15 K=1,N  
15 STS=STS+(V(K)-UD)**2  
STS=DS/ORT(STS/(RN-1))
```

C..... MANN_WALD TESTI

ES=-939.9
XT(1)=ES
XT(IDS+1)=-ES
DO 77 K=2,IDS
77 XT(K)=ZT(K)*STS+UD
40 PP=DS*RNI
NPP=PP
DO 45 K=1,IDS
K1=K+1
NI(K)=0
DO 46 J=1,N
IF(V(J).GT.XT(K)).AND.V(J).LE.XT(K+1)) NI(K)=NI(K)+1
46 CONTINUE
NFT=NI(K)-NPP
NTHES=NTHES+NFT*NFT
45 CONTINUE
THES=NTHES/NPP

C..... CARPIKLIK VE BASIKLIK TESTI

C1=0.
C2=0.
DO 55 I=1,M
FV=UD-V(I)
C1=C1+FV**3
C2=C2+FV**4
55 CONTINUE
CAD=1/(RN*STS**4)
C1=STS*CAD*C1
C2=CAD*C2-3
Z1=DSORT(RN/6)*C1
Z2=DSORT(RN/24)*C2
ZTD=Z1**2+Z2**2
AN=' ANCAK '
FN=' FARKLAR NORMAL DAGILIMDA '
DE=' DF31L '
BA=' BASIKLIK '
CA=' CARPIKLIK '
VAR=' VAR '
VE=' VE '
ANL=' ANLAMLI '
BIR=' BIR '
YOK=' YOK '
MW=' MANN_WALD TESTINE GORE VERILER NORMAL DAGILIMDA '
C.....
IF(THES.LE.TD) THEN
YORMW=MW
ELSE
YORMW=MW//DE
END IF
IF(ZTD.LT.TBD.AND.Z1.LE.ZSD.AND.Z2.LE.ZSD) THEN
YORUM=FN//BA//VE//CA//YOK
ELSE IF(ZTD.LE.TBD.AND.Z1.GT.ZSD.AND.Z2.GT.ZSD) THEN
YORUM=FN//AN//BA//VE//CA//VAR
ELSE IF(ZTD.GT.TBD.AND.Z1.LE.ZSD.AND.Z2.GT.ZSD) THEN
YORUM=FN//DF//CA//YOK//AN//AV//BIR//BA//VAR
ELSE IF(ZTD.LT.TBD.AND.Z1.GT.ZSD.AND.Z2.LE.ZSD) THEN
YORUM=FN//BA//YOK//AN//BIR//CA//VAR
C.....
ELSE IF(ZTD.GT.TBD.AND.Z1.GT.ZSD.AND.Z2.LE.ZSD) THEN
YORUM=FN//DE//BA//YOK//AN//AV//BIR//CA//VAR
ELSE IF(ZTD.LT.TBD.AND.Z1.LE.ZSD.AND.Z2.GT.ZSD) THEN
YORUM=FN//CA//YOK//AN//AV//BIR//BA//VAR
ELSE IF(ZTD.GT.TBD.AND.Z1.LE.ZSD.AND.Z2.LE.ZSD) THEN
YORUM=FN//DE//AN//CA//VE//BA//YOK
ELSE
YORUM=FN//DE//CA//VE//BA//VAR
END IF
RETURN
END

C.....

SUBROUTINE NORM(Y,X,Y0,X0,DO,YN,XN,MB)
IMPLICIT REAL*8 (A-H,D-Z)
DIMENSION Y(MB),X(MB),YN(MB),XN(MB)

```
DO 570 K=1, MB
570  YN(K)=(Y(K)-YO)/DO
      XN(K)=(X(K)-XO)/DO
      RETURN
      END
C.....  
SURROUTINE KORDOU(NX,NY,M,NGU,YO,XO,XX,YY)
IMPLICIT REAL*8 (A-H,O-Z)
DIMENSION YY(M),XX(M)
XX(1)=XO
YY(1)=YO
DO 511 K=2,NY
511  YY(K)=YY(K-1)+NGU
     I1=NY+1
     I2=(NX-1)*NY+1
     DO 517 K=1,NY
     DO 518 J=I1,I2,NY
518  YY(J)=YY(K)
     I1=I1+1
     I2=I2+1
     K1=NY+1
     K2=(NX-1)*I1+1
     DO 520 K=K1,K2,NY
520  XX(K)=XX(K-NY)+NGU
     L1=2
     L2=NY
     DO 522 L=1,K2,NY
     DO 524 LL=L1,L2
524  XX(LL)=XX(L)
     L1=L1+NY
522  L2=L2+NY
      RETURN
      END
C.....  
SUBROUTINE KST (M,V1,SS,NY,L,SG,YORKS,Z,KT,HKS,FZ,D,DD,
*          DRT,STS,MM,CK)
* IMPLICIT REAL*8(A-H,O-Z)
CHARACTER FN1*26,DE1*5,YORKS*35
DIMENSION V1(M),SS(KM),Z(KM),NY(KM),KT(KM),HKS(KM),FZ(KM),
          D(KM), DD(KM)
* FM1=' PARKLAR NORMAL DASILIMDA '
DF1=' DEGIL'
PI1=2*3.141592654
PIK=1./DCORT(PI1)
EPS=.0000001
CALL SIRA(V1,M,EK,E3)
SG=(EB-EK)/L
C.....  
SINIF SINIRLARI
SS(1)=EK+SG
Z(1)=(SS(1)-DRT)/STS
DO 15 K=2,L+2
SS(K)=SS(K-1)+SG
Z(K)=((SS(K)-DRT)/STS
15 IF(SS(K).GE.EB) GO TO 17
CONTINUE
17 MM=K
NY(1)=0
DO 23 K=1,M
23 IF(V1(K).LE.SS(1)) NY(1)=NY(1)+1
CONTINUE
DO 26 K=2,MM
NY(K)=0
K1=K-1
DO 26 J=1,M
26 IF(V1(J).GE.SS(K)).AND.V1(J).LE.SS(K)) NY(K)=NY(K)+1
CONTINUE
KT(1)=NY(1)
RKT=KT(1)
HKS(1)=RKT/M
DO 30 K=2,MM
30 KT(K)=KT(K-1)+NY(K)
RKT=KT(K)
```

```
30 HKS(K)=RKT/M
DO 40 K=1,M
I=0
TF=Z(K)
TOP=Z(K)
45 I=I+1
TE=TF*((-1)*(Z(K)*Z(K))/(2*I))
TER=TE/(2*I+1)
TOP=TOP+TER
IF(DABS(TER).GE.EPS) GO TO 45
FZ(K)=TF*TOP+.5
D(K)=HKS(K)-FZ(K)
DD(K)=D(K)
CONTINUE
CALL SIRA (D,MM,EKS,EBS)
DMAX=EBS
DS=1.36/DSORT(459.D0)
IF(DMAX.LE.DS) THEN
YORKS= FII
ELSE
YORKS= FII//DEI
END IF
RETURN
END
C **** SUBROUTINE SIRA(V1,M,EK,EB) ****
IMPLICIT REAL*8(A-H,D-Z)
DIMENSION V1(M)
DO 24 K=1,M-1
L=K+1
DO 22 J=L,M
IF(V1(K).LT.V1(J)) GO TO 22
HAF=V1(K)
V1(K)=V1(J)
V1(J)=HAF
22 CONTINUE
CONTINUE
EK=V1(1)
EB=V1(M)
RETURN
END
```

EK - 4

1	3	4	5	6	7	8	9	10	11	12	13	14	15	16	17	18	19	20	21	22	23	24	25	26	27	28	29	30	31	32	33	34	35	36	37	38	39	40	41	42	43	44	45	46	47	48	49	50	51	52	53	54	55	56	57	58	59	60	61	62	63	64	65	66	67	68	69	70
1	3	4	5	6	7	8	9	10	11	12	13	14	15	16	17	18	19	20	21	22	23	24	25	26	27	28	29	30	31	32	33	34	35	36	37	38	39	40	41	42	43	44	45	46	47	48	49	50	51	52	53	54	55	56	57	58	59	60	61	62	63	64	65	66	67	68	69	70
1	3	4	5	6	7	8	9	10	11	12	13	14	15	16	17	18	19	20	21	22	23	24	25	26	27	28	29	30	31	32	33	34	35	36	37	38	39	40	41	42	43	44	45	46	47	48	49	50	51	52	53	54	55	56	57	58	59	60	61	62	63	64	65	66	67	68	69	70
1	3	4	5	6	7	8	9	10	11	12	13	14	15	16	17	18	19	20	21	22	23	24	25	26	27	28	29	30	31	32	33	34	35	36	37	38	39	40	41	42	43	44	45	46	47	48	49	50	51	52	53	54	55	56	57	58	59	60	61	62	63	64	65	66	67	68	69	70

ÖZGEÇMİŞ

1963 yılında Trabzon'un Akçaabat ilçesinde doğdu. İlk ve orta öğrenimini Trabzonda yaptı. 1981 yılında Trabzon Lisesinden mezun olarak aynı yıl Karadeniz Teknik Üniversitesi Jeodezi ve Fotogrametri Mühendisliği bölümünde girdi. 1985 yılında bölümün lisans programını tamamladı. Aynı yıl bölümde araştırma görevlisi olarak çalışmaya müteakiben de yüksek lisans öğrenimine başladı.